# BAYERISCHE AKADEMIE DER WISSENSCHAFTEN MATHEMATISCH-NATURWISSENSCHAFTLICHE KLASSE

# SITZUNGSBERICHTE

**JAHRGANG** 

1962

#### MÜNCHEN 1963

VERLAG DER BAYERISCHEN AKADEMIE DER WISSENSCHAFTEN

In Kommission bei der C. H. Beck'schen Verlagsbuchhandlung München

## Maßstab und Maßstabskontrollen im Basisvergrößerungsnetz München-Ebersberg

#### Von Max Kneißl, München

Mit 11 Abbildungen

Vorgelegt am 6. Juli 1962

#### Übersicht

- I. Allgemeine Einführung
- II. Messungen auf der Normalstrecke und auf der Basis Ebersberg

Anlage und Ausbau der Basis Ebersberg

Die Geodimeter- und Tellurometermessungen auf der Ebersberger Basis

III. Basisvergrößerungsnetz München-Ebersberg

Die Tellurometer- und Geodimetermessungen im Basisvergrößerungsnetz München–Ebersberg

Die Genauigkeit der Tellurometer- und Geodimetermessungen

#### I. Allgemeine Einführung

Im neuen deutschen Hauptdreiecksnetz wurden in enger Zusammenarbeit mit den Nachbarländern mehrere Grundlinien neu angelegt, mit Invardrähten gemessen und in üblicher Weise mit Hilfe von Basisvergrößerungsnetzen auf je eine Hauptdreiecksseite übertragen.

Im einzelnen handelt es sich in chronologischer Reihenfolge um die Basis und das Vergrößerungsnetz München-Ebersberg (1958),

die Basis und das Vergrößerungsnetz Meppen (1960),

die Basis und das Vergrößerungsnetz Göttingen (1961).

Dazu kommt noch die schweizerische Basis und das Vergrößerungsnetz Heerbrugg (1959).

Bei den Neumessungen von Basislinien verfolgte man folgende Zwecke:

- 1. Überprüfung des Maßstabs im deutschen Hauptdreiecksnetz;
- 2. Nachmessung älterer deutscher Grundlinien (München, Meppen, Göttingen);
- 3. Überprüfung des Maßstabs des schweizerischen und österreichischen Hauptdreiecksnetzes (Heerbrugg);
- 4. Sicherung eines einheitlichen Maßstabs in Zentraleuropa für die Neuausgleichung der europäischen Hauptdreiecksnetze;
- 5. Schaffung geeigneter Meßfelder für die Eichung elektrooptischer und elektronischer Entfernungsmesser;
- 6. Untersuchungen zur Eichung der Invardrähte, Weiterentwicklung der Invardrahtmessung, Studium der Genauigkeit der Invardrahtmessung;
- 7. Vergleich der Invardrahtmessung mit der elektrooptischen und elektronischen Entfernungsmessung;
- 8. Experimentelle Untersuchung der Genauigkeit der Basisvergrößerungsnetze.

In der Geodäsie ist man sich heute darüber einig, daß es für die Sicherung des Maßstabes viel zweckmäßiger ist, an Stelle einzelner höchst genauer Basismessungen eine Reihe möglichst symmetrisch angeordneter Tellurometer- und Geodimetermessungen auf Hauptdreiecksseiten durchzuführen, weil dies wesentlich rascher und ohne große Vorbereitung möglich ist. Man hat aber nur wenige gesicherte Erfahrungen über den dabei zu erwartenden Genauigkeitsabfall oder Genauigkeitsgewinn. Durch Eichung der elektrooptischen und elektronischen Entfernungsmesser auf Basisvergrößerungsnetzen sollte hier eine weitgehende Klärung möglich sein.

Für die Klärung dieser Fragen haben die Basis und das Basisvergrößerungsnetz München-Ebersberg besondere Bedeutung erlangt.

Das Münchner Basisvergrößerungsnetz ist für die Untersuchung der Genauigkeit der Invardrahtmessung besonders geeignet, weil die Basis noch mit einer Väisälä-Normalstrecke verbunden ist, die unmittelbar vor und nach der Messung der eigentlichen Basis im Gelände Drahteichungen zuläßt. Außer diesen Eichungen wurden bei allen Basismessungen der Jahre 1958 bis 1961 alle

verwendeten Invardrähte vor und nach der eigentlichen Basismessung grundsätzlich bei einem Eichinstitut (Physikalisch-Technische Bundesanstalt in Braunschweig – PTB, bzw. Bureau International des Poids et Mesures – BIPM, Sèvres) geeicht. Es ist daher möglich, sehr exakte Aussagen über die Ergebnisse und die Genauigkeit der Drahteichung und der Drahtmessung zu machen. Weiter wurde die Münchner Basis kurz hintereinander zweimal vollständig unabhängig von zwei verschiedenen Meßtrupps unter internationaler Beteiligung mit zehn bzw. acht Invardrähten, also mit insgesamt 18 Invardrähten ausgemessen.

Zudem wurde die neue Münchner Basis und das Basisvergrößerungsnetz so angelegt, daß sowohl die altbayerische Grundlinie München-Aufkirchen (Bonne 1801), als auch die Claußsche Grundlinie Schleißheim-Dachau (1920/21) über die Basisver-

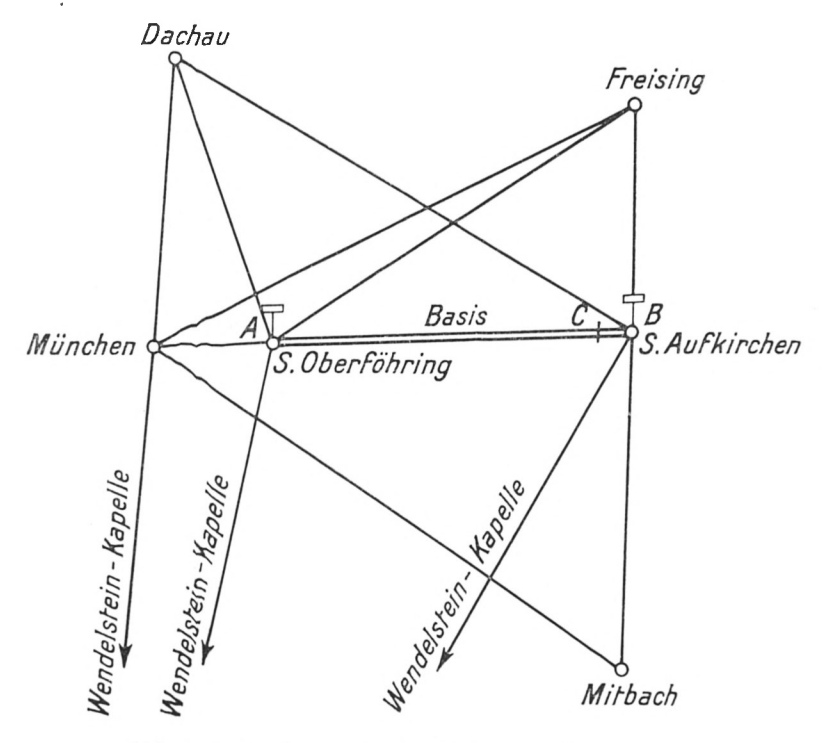


Abb. 1. Bonnesche Basis mit Vergrößerungsnetz

größerungsseite München-Schweitenkirchen unmittelbar mit der neuen Ebersberger Basis verglichen werden können.

Damit haben wir

die Bonnesche Basis mit zugehörigem Vergrößerungsnetz (Abb. 1),

die Claußsche Basis mit zugehörigem Vergrößerungsnetz (Abb. 2),

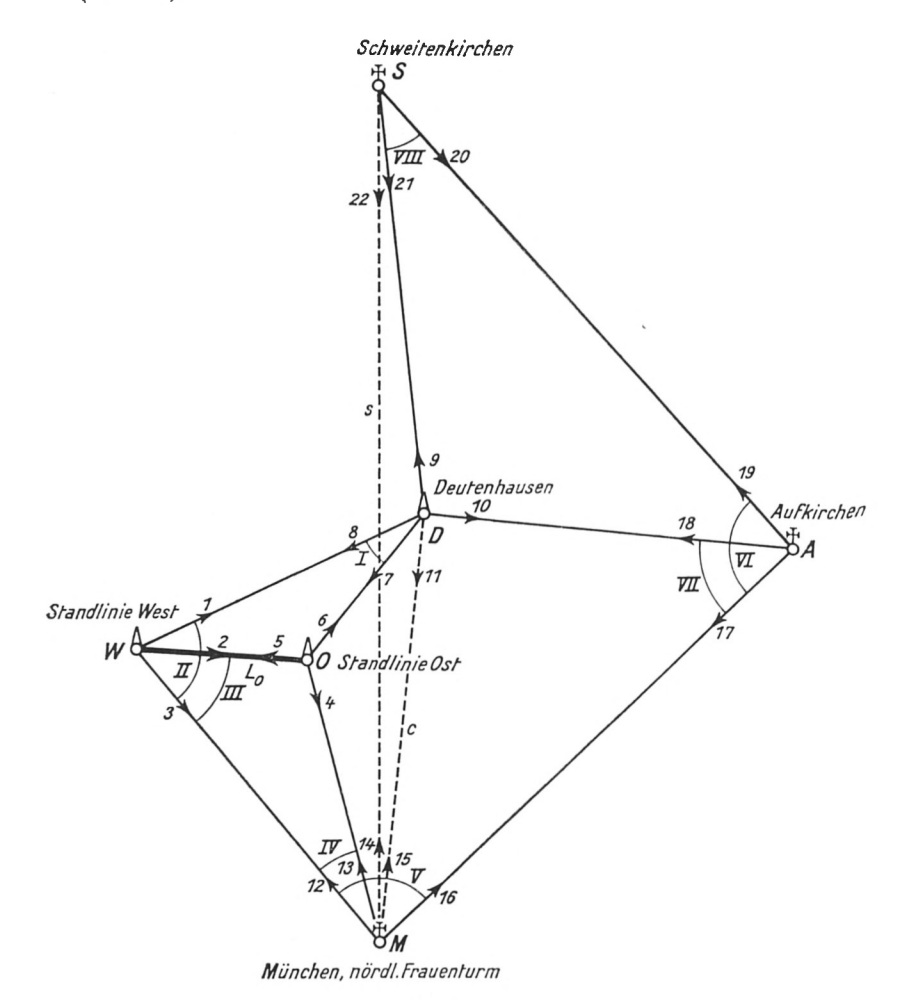


Abb. 2: Claußsches Basisvergrößerungsnetz 1920/21, Vergrößerungsseite München-Schweitenkirchen

die Ebersberger Basis mit zugehörigem Vergrößerungsnetz (Abb. 3).

Wir wollen nun der Reihe nach die Beobachtungs- und Berechnungsergebnisse für die Normalstrecke, die Basis und das Ebersberger Basisvergrößerungsnetz betrachten und die Genauigkeit der Interferenzmessung, der Invardrahtmessung, der trigonometrischen Entfernungsbestimmung und der Tellurometer- und Geodimetermessungen miteinander vergleichen.

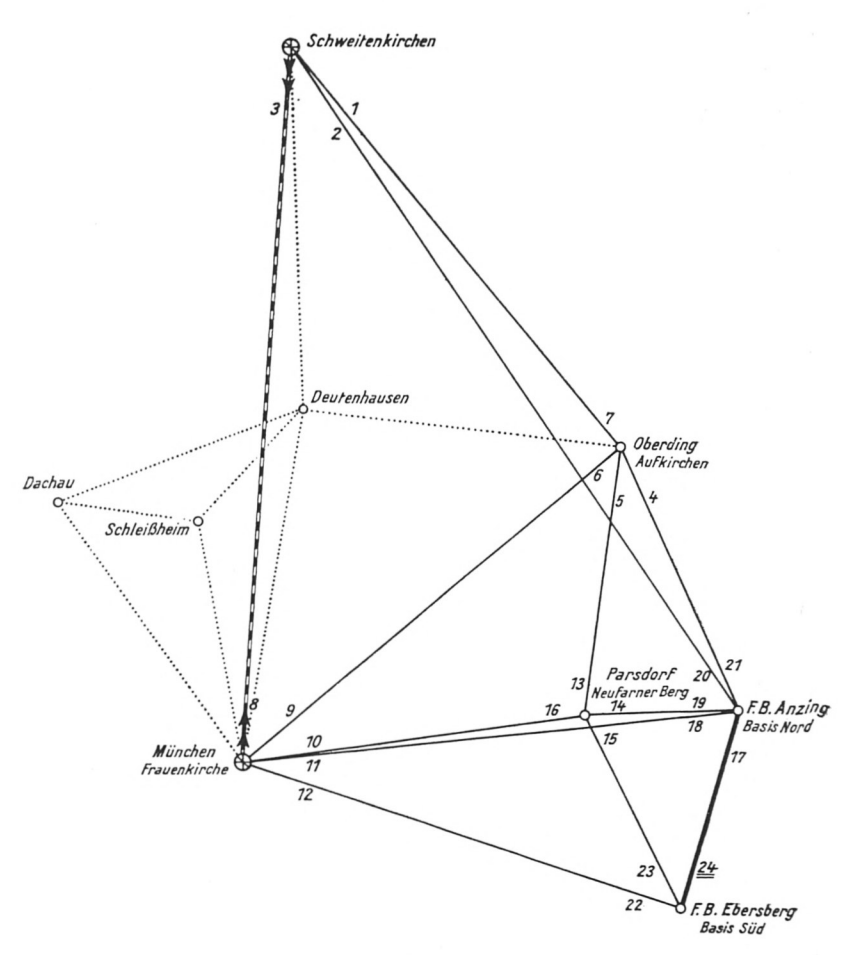


Abb. 3. Ebersberger Basisvergrößerungsnetz 1958, Vergrößerungsseite München-Schweitenkirchen

## II. Messungen auf der Normalstrecke und auf der Basis Ebersberg

Die Anlage der Münchner Normalstrecke geht auf einen Beschluß der Internationalen Assoziation für Geodäsie zurück. Sie entspricht in Anlage und Ausbau im wesentlichen der finnischen Normalstrecke in Numela. Die Beobachtungshütten sind von allen Seiten aufklappbar. Dabei sind die eigentlichen Komparatorhütten, die an beiden Enden der Interferenzstrecke über den Pfeilern o bis 6 m und dem Fernrohrpfeiler stehen, und bewegliche Baracken für die Einzelpfeiler zu unterscheiden. Die Ausmaße der Hütten betragen 12,50 m × 2,60 m bzw. 2,50 m × 2,50 m. Die Hütten wurden auf Betonpfeilern aufgestellt und durch Scharniere und Schrauben verfestigt, so daß ihre Versetzung möglich ist. Die Fußböden haben keine Berührung mit den Pfeilern.

Die Interferenzmeßstrecke hat eine Länge von zweimal 432 m mit Meßanordnung von beiden Enden her und folgenden Pfeilerabständen:

N, 0 m, 1 m, 6 m, 24 m, 72 m, 216 m, 432 m, 648 m, 792 m, 840 m, 858 m, 863 m, 864 m, S.

Die mit N bzw. S bezeichneten Pfeiler tragen die Lichtquelle und das Beobachtungsfernrohr.

Um auch 50 m-Invarbänder eichen zu können, wurden von Norden beginnend noch folgende Pfeiler eingeschaltet:

o m, 1 m, 5 m, 25 m, 50 m, 100 m, 300 m und 600 m.

Weiter wurde dafür gesorgt, daß die Interferenzmeßstrecke später auf 1 200 m vergrößert werden kann.

Parallel zur Interferenzmeßstrecke wurde in Abständen von 2,5 m bzw. 1,5 m westlich bzw. östlich dieser Strecke eine 864 m-Invardrahtstrecke und eine 600 m lange Invarbandstrecke angelegt. Die Invardrahtstrecke ist in 24 m-Intervalle eingeteilt, die

Zwischenpunkte sind durch etwa 2 m lange Eisenbetonpfähle markiert, die etwa 1,30 m tief im gewachsenen Boden einbetoniert sind. Die Invarbandstrecke besteht aus einer regelrecht mit einem Schotterbett und Holzschwellen verlegten, zu Längen von je 100 m verschweißten, durchgehenden Eisenbahnschiene.

Die Endpunkte (o m und 864 m) und der Mittelpunkt der Invardrahtstrecke (432 m) sind durch zentrisch eingebaute, unterirdische Festlegungen versichert. Die Invarbandstrecke ist ebenfalls bei o m, 300 m und 600 m durch etwa 1,5 m exzentrisch liegende Festlegungen vermarkt.

Die unterirdischen Festlegungen entsprechen der vom früheren Reichsamt für Landesaufnahme entwickelten Dittrichschen Festlegung (Abb. 4, s. S. 183).

Die Einrichtung des von Prof. Dr. Väisälä hergestellten und gelieferten Interferenzkomparators auf der Münchner Normalstrecke erfolgte erstmals Ende Mai 1958 durch die finnischen Professoren Dr. Väisälä und Dr. Honkasalo. An den Messungen beteiligten sich meine Mitarbeiter Dr.-Ing. Eichhorn und Dr.-Ing. Hillebrand und bei den späteren Messungen 1960 und 1961 auch noch die Diplomingenieure Herzog und Boronkai.

Das Meßverfahren bei der interferometrischen Längenbestimmung wird hier als bekannt vorausgesetzt. Es beruht im wesentlichen auf der sehr genauen Ausmessung eines 1 m-Intervalles und Vervielfachung des Intervalles auf 6, 24, 72 m usw., durch Absteckung der Entfernungen mit Hilfe von senkrecht stehenden Spiegeln, zwischen denen das Licht reflektiert und schließlich zur Interferenz gebracht wird.

Auf der Ebersberger Normalstrecke konnten inzwischen drei unabhängige Meßreihen 1958, 1960 und 1961 mit Hilfe des Väisälä-Komparators ausgeführt und ihre Ergebnisse auf die Bolzen A und C der unterirdischen Festlegungen übertragen werden. Die Einzelergebnisse hierzu sind der nachstehenden Tabelle 1 zu entnehmen. Hiernach stimmen die erste und die dritte Messung vollständig überein, während die zweite Messung um 0,2 mm kleiner ausgefallen ist. Damit käme dem Mittelwert eine Genauigkeit von rund  $\frac{1}{10}$  mm oder rund 1.10<sup>-7</sup> zu.

Tabelle 1

Ergebnisse der Interferenzmessung auf der Münchener Normalstrecke

Jahr	UFA-UFB	UFB-UFC	UF A – UF C
1958 1960 1961	$432 031,64 \pm 0,08$ $031,29 \pm 0,06$ $031,44 \pm 0,08$	$\begin{array}{c} 432\ 032,63 \pm 0,04 \\ 032,73 \pm 0,13 \end{array}$	864 064,27 ± 0,09 064,03 ± 0,14 064,27 ± 0,13

Die Angaben beziehen sich auf die Abstände der unterirdischen Festlegungen im Horizont von UF A.

Bei diesen drei Messungen ergaben sich folgende Erfahrungen:

- Die Apparatur als solche ist einfach und leicht zu handhaben. Ein Bedürfnis nach irgendeiner Änderung, etwa zur Beschleunigung oder Vereinfachung der Beobachtungen ist nicht aufgetreten.
- 2. Die Genauigkeit der Messungen mit dem Väisälä-Komparator liegt auch nach unseren Erfahrungen bei 1·10<sup>-7</sup> für eine Messung in Hin- und Rückgang. Hauptfehlerquelle ist die Refraktion.
- 3. Wenn die Genauigkeit 1 · 10<sup>-7</sup> nicht bei allen Teilstrecken in Ebersberg erreicht wird, so liegt das daran, daß die Unterschiede in der Lufttemperatur zwischen Hütte und freier Strecke durch die Hg-Thermometer infolge von Strahlungseinflüssen nicht richtig erfaßt werden. Der bisher aufgetretene Maximalfehler für eine Messung ist kleiner als 1 · 10<sup>-6</sup> (0,4 mm auf 432 m).

Werden bei extremer, aber konstanter Witterung mehrere Messungen durchgeführt, so können die Ergebnisse trotz innerer Übereinstimmung von besser als  $1\cdot 10^{-7}$  noch einen systematischen Fehler von maximal  $1\cdot 10^{-6}$  haben. So könnten etwa die Ergebnisse von 1958 und 1960 für den Abstand UF A – UF C um maximal 0,40 mm, das ist  $5\cdot 10^{-7}$  zu klein sein.

4. Wegen der geschlossenen Bauart (U-Form) der Endpfeiler o m, 864 m und der großen Höhe des Pfeilers 432 m sind Pfeilerbewegungen infolge Temperaturschwankungen von etwa 0,1 mm bzw. 0,2 mm während der Dauer einer Interferenzmeßreihe zu befürchten. Es sollten daher die Übertragungsmessungen nicht nur zu Beginn und am Ende der Messungen, sondern nach Möglichkeit an allen Tagen, an denen Interferenzmessungen stattfinden, durchgeführt werden.

## 5. Zusammenfassend wird festgestellt:

- a) Normalstrecken sollten allgemein in refraktionsmäßig ruhigem Gelände liegen. Massive Hütten über den Endpfeilern sind möglichst zu vermeiden.
- b) Interferenzmessungen sind stets über einen längeren Zeitraum bei möglichst verschiedener Witterung auszuführen. Die Thermometer müssen einen besonderen Strahlungsschutz erhalten.
- c) Die Pfeiler, insbesondere die Endpfeiler sind gegen Temperatureinflüsse besonders abzuschirmen.
- d) Die Übertragungsmessungen sind mit besonderer Sorgfalt und möglichst vor und nach jeder einzelnen Meßreihe durchzuführen.

Die Schwäche des Verfahrens liegt in der Unsicherheit der Refraktionseinflüsse, in der mangelhaften Stabilität der Pfeiler sowie in der Übertragung der Entfernungen von den Spiegeln zu den unterirdischen Festlegungen. Vorzüge des Verfahrens sind die sehr großen Meßgenauigkeiten und die Einheitlichkeit des Väisälä-Maßsystems. Die erreichbare Genauigkeit liegt bei 0,1 mm/km; eine weitere Genauigkeitssteigerung lohnt sich nicht.

Zur Eichung der Invardrähte wird mit diesen die Normalstrecke zwei- bis dreimal hin und zurück durchgemessen. Die Drahtkonstanten werden dann aus dem Sollmaß der Normalstrecke abgeleitet.

Die verwendeten Invardrähte wurden zudem unmittelbar vor und nach der Basismessung zum Teil beim Internationalen Büro für Maße und Gewichte in Paris, zum Teil bei der Physikalisch-Technischen Bundesanstalt in Braunschweig, darüber hinaus aber auch auf der Normalstrecke in Ebersberg geeicht. Weiter wurden für alle Drähte die Ausdehnungskoeffizienten neu bestimmt. Durch die systematische Anordnung der Eichungen und die große Zahl der verwendeten Drähte ist es möglich, sowohl gut fundierte Aussagen über die Übereinstimmung von Laboratoriumseichungen unter sich und der Eichung auf Vergleichsstrekken zu machen.

Zur unabhängigen Überprüfung der Interferenzmessung kann umgekehrt die Länge der Normalstrecke auch aus den bis jetzt vorliegenden Messungen mit den laborgeeichten Invardrähten bestimmt werden. Die Ergebnisse hierzu finden sich in Tabelle 2, ein Vergleich der Interferenzmessung mit der Drahtmessung in Tabelle 3.

Die Länge der Normalstrecke, abgeleitet aus Messungen mit laborgeeichten Invardrähten, schwankt beträchtlich, obwohl meist zwei bis drei Hin- und Rückmessungen durchgeführt wurden. Bei zwölf verschiedenen Drähten (Eichung beim BIPM-Paris) erreichen 1958 die Längenabweichungen vom Jahresmittelwert über 3 mm. Auch die in Braunschweig (PTB) geeichten Drähte (27 Drähte), die über die Normalstrecke geführt wurden, geben Längenunterschiede, die vom Mittelwert um mehrere Millimeter abweichen. Ähnliches gilt für die Messungen 1959, während 1960 die Fehler nur ausnahmsweise 1 mm überschreiten, um 1961 wieder auf über 2 mm anzusteigen.

Einzeleichungen im Labor verursachen also doch noch größere Unsicherheiten, die auf die Länge der Normalstrecke von 864 m auf maximal  $\pm$  3 mm ansteigen können.

Dagegen weichen die Jahresmittel aus jeweils 7 bis 27 Drähten nur noch um  $\pm$  1,7 mm bzw.  $\pm$  1,3 mm für den einzelnen Jahresdurchschnitt (Tab. 3) voneinander ab. Das Gesamtmittel für die Länge der Normalstrecke wird mit den Pariser Eichwerten für insgesamt 55 Drähte

 $864064,68 \text{ mm} \pm 0,23 \text{ mm}$ 

und mit den Braunschweiger Eichwerten für insgesamt 92 Drähte  $864064,15 \text{ mm} \pm 0,14 \text{ mm},$ 

also fast so genau wie die Eichung mit dem Väisälä-Komparator. Mit Rücksicht auf die Zahl der verwendeten Drähte scheint der Unterschied zwischen den Pariser und Braunschweiger Eichwerten von + 0,53 mm auf 864 m von systematischer Natur zu sein. Die Unterschiede der einzelnen Jahresmittel aber wechseln selbst das Vorzeichen. Von derselben Größenordnung, nämlich Forts. S. 182

Tabelle 2a

Länge der Normalstrecke Ebersberg

Abgeleitet aus Invardrahtmessungen und den Eichungen der amtlichen Eichinstitute BIPM-Paris und PTB-Braunschweig

1958

I	2	3	4	5	6
	BIPM Pa	ris		PTB Braunsch	weig
Draht	Abstand UFA-UFC 864 m +	v	Draht	Abstand UFA-UFC 864 m +	v
	mm	mm		mm	mm
301	63,425	+ 0,558	36	63,360	+ 1,150
301	63,345	+ 0,638	36	65,661	1,151
302	63,206	+ 0,777	37	65,564	1,054
302	64,106	0,123	37	66,430	— 1,920
303	62,497	+ 1,486	38	64,876	— 0,366
A 27	62,906	+ 1,077	38	64,875	— 0,36 <u>5</u>
A 27	64,451	— o,468	381	67,926	<del></del> 3,416
98	66,033	- 2,050	381	64,967	0,457
99	57,319	- 3,336	382	64,210	+ 0,300
526	64,143	— o,16o	382	65,596	— 1,086
527	63,007	+ 0,976	383	63,983	+ 0,527
529	63,353	+ 0,630	383	63,933	+ 0,577
			391	65,527	1,017
			392	62,412	+ 2,098
			393	62,725	+ 1,785
			393	64,156	+ 0,354
			84536	64,564	0,054
			84536	64,756	0,246
			509	65,537	1,027
			509	64,786	-0,276
			510	63,710	+ 0,800
			510	63,048	+ 1,462
			511	64,502	+ 0,008
			511	61,750	+ 2,760
			526	63,415	+ 1,095
			527	64,825	+ 0,315
			529	64,673	— o,163
Mittel	864063	3,983 mm	Mittel	864 064	$,510~\mathrm{mm}$
[vv]	21,	6309	[vv]	43,	1315
$m_0$	$=\pm\sqrt{\frac{21,63}{11}}$	$\frac{\overline{309}}{=\pm 1,40 \mathrm{mm}}$	n m <sub>0</sub>	$=\pm\sqrt{\frac{43,13}{26}}$	=± 1,29 mm
$m_{\tilde{i}}$	$=\pm \frac{1,40}{\sqrt{12}}$	= ± 0,40 mn	$m_i$	$=\pm \frac{1,29}{\sqrt{27}}$	$=\pm$ 0,25 mm

Tabelle 2b

Länge der Normalstrecke Ebersberg

Abgeleitet aus Invardrahtmessungen und den Eichungen der amtlichen Eichinstitute BIPM-Paris und PTB-Braunschweig

1959

ı	2	3	4	5	6		
	BIPM Par	ris		PTB Braunsc	hweig		
Draht	Abstand UFA-UFC 864 m +	υ	Draht	Abstand UFA-UFC 864 m +	υ		
	mm	mm		mm	mm		
301 301 302	64,313 64,831 64,354	+ 0,283 $- 0,235$ $+ 0,242$	36 36 37	65,314 65,753 65,724	1,328 1,767 1,738		
302	64,427	+ 0,169	37	65,289	1,303		
303	65,183	- o,587	38	65,123	1,137		
A 27	64,194	+ 0,402	38	64,624	o,638		
A 27	64,867	- O,271	382	64,491	o,5o5		
•			393	63,172	+ 0,814		
			84536	63,470	+0,516		
			391	64,010	0,024		
			509	63,874	+ 0,112		
			509	63,812	+ 0,174		
			510	64,525	0,539		
			510	65,024	1,038		
			510	62,990	+ 0,996		
			511	63,686	+ 0,300		
			511	64,591	o,6o5		
			511	64,293	— o,307		
			526	65,440	— 1,454		
			526	63,062	+ 0,924		
			527	63,035	+ 0,951		
			527	64,011	0,025		
	1		528	61,401	+ 2,585		
			528	61,794	+ 2,192		
			529	62,551	+ 1,435		
			529	62,573	+ 1,413		
Mittel	864 064	4,596 mm	Mittel	864 063	,986 mm		
[vv]	0	,8021	[vv]	34,	8575		
$m_0$	$\sqrt{\frac{0,8021}{6}}$	=± 0,37 mm	$m_0$	$\sqrt{\frac{34,8575}{25}}$	=±1,18 mm		
$m_{i}$	$\frac{0.37}{\sqrt{7}}$	$=\pm$ 0,14 mm	$m_{i}$	$\frac{1,18}{\sqrt{26}} = \pm 0,23 \mathrm{ms}$			

Tabelle 2c

Länge der Normalstrecke Ebersberg

Abgeleitet aus Invardrahtmessungen und den Eichungen der amtlichen Eichinstitute BIPM-Paris und PTB-Braunschweig

1960

ı	2	3	4	5	6
	BIPM Par	is		PTB Braunsch	nweig
Draht	Abstand UFA-UFC 864 m +	v	Draht	Abstand UFA-UFC 864 m +	υ
	mm	mm		mm	mm
382 382 A 27	65,006 65,077 64,524	+ 0,015 0,056 + 0,497	384 384 84536	63,565 63,335 64,493	+ 0,522 + 0,752 — 0,406
A 27 392 392	64,895 64,215 64,614	+ 0,126 + 0,806 + 0,407	84536 38 38	63,627 65,517 64,902	+ 0,460 1,430 0,815
36 36 381	65,429 65,264 65,417	0,408 0,243 0,396	303 303 393	63,972 64,083 63,610	+ 0,115 + 0,004 + 0,477
302 302 391	64,617 64,576 64,656	+ 0,404 + 0,445 + 0,365	393 383 383	63,134 64,659 63,757	+ 0,953 0,572 + 0,330
391 301 301	64,005 65,502 64,962	+ 1,016 0,481 + 0,059	37 37 509	65,319 65,251 63,875	$ \begin{array}{cccccccccccccccccccccccccccccccccccc$
9 <b>0</b> 9 <b>0</b>	65,245 65,537	0,224 0,516	510 510	64,269 63,375	0,182 + 0,712
91 91 89 89	64,982 64,893 66,248 65,773	+ 0,039 + 0,128 - 1,227 - 0,752	511	64,062 62,849	+ 0,025 + 1,238
Mittel		5,021 mm	Mittel	864 064	,087 mm
[vv]	5,	6308	[vv]	10,	4996
$m_0$	$\sqrt{\frac{5,6308}{20}} =$	= ± 0,53 mm	$m_0$	$\sqrt{\frac{10,4996}{18}}$	= ± 0,76 mm
$m_{i}$	$\frac{0,53}{\sqrt{21}} =$	= ± 0,12 mm	$m_{i}$	0,76 V 19	= ± 0,18 mm

Tabelle 2d

Länge der Normalstrecke Ebersberg

Abgeleitet aus Invardrahtmessungen und den Eichungen der amtlichen Eichinstitute BIPM-Paris und PTB-Braunschweig

1961

I	2	3	4	5	6		
	BIPM Pa	ris		PTB Braunsc	hweig		
Draht	Abstand UFA-UFC 864 m +	v	Draht	Abstand UFA-UFC 864 m +	υ		
	mm	mm		mm	mm		
391 391 36 36 382 382 A 27 A 27 301 301 381 381 392 392 392	64,422 64,871 64,217 63,819 65,495 65,430 65,163 64,352 64,202 64,871 65,090 64,258 65,396 64,964 65,365	+ 0,372 0,077 + 0,577 + 0,975 0,701 0,636 0,369 + 0,442 + 0,592 0,077 0,296 + 0,536 0,602 0,170 0,571	37 38 38 393 393 84536 84536 303 303 383 384 384 509 509 510	66,363 65,205 65,118 64,078 62,783 63,471 63,783 64,177 63,543 63,123 64,196 64,068 64,114 63,713 63,961 63,019 64,769	- 2,446 - 1,288 - 1,201 - 0,161 + 1,134 + 0,446 + 0,134 - 0,260 + 0,374 + 0,794 - 0,279 - 0,151 - 0,197 + 0,204 - 0,044 + 0,898 - 0,852		
			510 511 511	61,892 64,488 62,474	+2,025 $-0,571$ $+1,443$		
Mittel	864 064	,794 mm	Mittel	864 063,			
[vv]	4,:	1039	[vv]	19,6	751		
$m_0$	$\sqrt{\frac{4,1039}{14}} =$	= ± 0,54 mm	m <sub>0</sub>	$\sqrt{\frac{19,6751}{19}}$	= ± 1,02 mm		
$m_{i}$	0,54 V15	= ± 0,14 mm	$m_{i}$	$\frac{1,02}{\sqrt{20}} = \pm 0,23 \text{ m}$			

Tabelle 3

Länge der Normalstrecke Ebersberg aus Invardrahteichungen und den Drahteichungen der amtl. Eichinstitute BIPM-Paris und PTB-Braunschweig

I	2	3	4	5	6	7		
	BIPM	-Paris		PTB – Bra	aunschwe	eig		
Jahr	Abstand UFA-UFC Jahresmittel	Anzahl der Drähte v		Abstand UFA–UFC Jahresmittel	Anzahl der Drähte	v		
	mm		mm	mm		mm		
1958	864063,983	12	+ 0,696	864064,510	27	<b></b> 0,364		
1959	64,596	7	+ 0,083	63,986	26	+ 0,160		
1960	65,021	21	o,342	64,087	19	+ 0,059		
1961	64,794	15	-0,115	63,917	20	+ 0,229		
Mittel	864064	,679 mi	n	864064,146 mm				
[pvv]	8	,5158		5,.	3580			
$m_0$	$\sqrt{\frac{8,5158}{3}}$	= ± 1,	68 mm	$\sqrt{\frac{5,3580}{3}}$	= ± 1,	34 mm		
$m_{i}$	1,68 V 55	= ± o,	23 mm	$\frac{1,34}{\sqrt{92}}$	= ± o,	14 mm		

Länge der Normalstrecke aus Eichungen des BIPM 864064,679 ± 0,23 mm

Länge der Normalstrecke aus Eichungen der PTB 864064,146 ± 0,14 mm

Länge der Normalstrecke als allgemeines Mittel aus den Eichungen des BIPM und der PTB 864064,291 ± 0,24 mm

Länge der Normalstrecke aus Interferenzmessungen 864064,190 ± 0,08 mm

Längendifferenz im Sinne Interferenzmessung

minus Laboreichung -0,101 ± 0,25 mm

das ist  $-0.1 \times 10^{-6}$ 

5·10<sup>-7</sup> ist der Unterschied der Pariser Laboreichungen gegenüber der Väisälä-Eichung, während die Braunschweiger Eichung mit der Väisälä-Eichung fast zusammenfällt. Alles in allem stimmen die drei Werte 864064,68 mm (Paris), 864064,15 mm (Braunschweig) und 864064,19 mm (Väisälä) so hervorragend überein, daß eine weitere Genauigkeitssteigerung wenig sinnvoll erscheint.

Die Laboreichungen bestätigen den Interferenzmeßwert. Der Interferenzmeßwert beruhigt die etwas streuenden Laboreichwerte und zeigt, daß für *genauere* Invardrahtmessungen doch mindestens 6 Drähte benutzt werden sollten, um größere systematische Fehler zu vermeiden. Die Interferenzmessungen mit dem Väisälä-Komparator gestatten einwandfreie, einfache und in sich gut stimmige Feldeichungen der Invardrähte.

#### Anlage und Ausbau der Basis Ebersberg

Die Ebersberger Basis hat eine Gesamtlänge von 8,2 km. Sie umfaßt 10 unterirdische Festlegungen (Dittrichsche Festlegungen – Abb. 4 – aus Stampfbeton, 2m lang, Oberfläche ca. 1,2m unter der Erdoberfläche, Loch mit Erdbohrer von einem Durchmesser 30 cm mit Baustahlgeflecht);

- 5 Straßenpunkte, Betonwürfel ca. 30 imes 30 imes 30 cm;
- 332 eingerammte Holzpfähle, 10 kleine Vierböcke, 2 größere Vierböcke;
- 25 Podeste verschiedener Höhe bis max. 4,35 m, 7 Mirengerüste. Die Basis ist mehrfach gebrochen (Abb. 5) und für folgende Tagesabschnitte ausgebaut:
  - 1. von Endpunkt Nord bis Pfahl 93 = 93 Drahtlagen,
  - 2. von Pfahl 93 bis Pfahl 195 = 102 Drahtlagen,
  - 3. von Pfahl 195 bis Pfahl 295 = 100 Drahtlagen,
  - 4. von Pfahl 295 bis Pfahl 345 = 50 Drahtlagen.

Der 4. Abschnitt war wegen der schwierigen Messung über die Podeste absichtlich kürzer gehalten als die übrigen Tagesabschnitte.

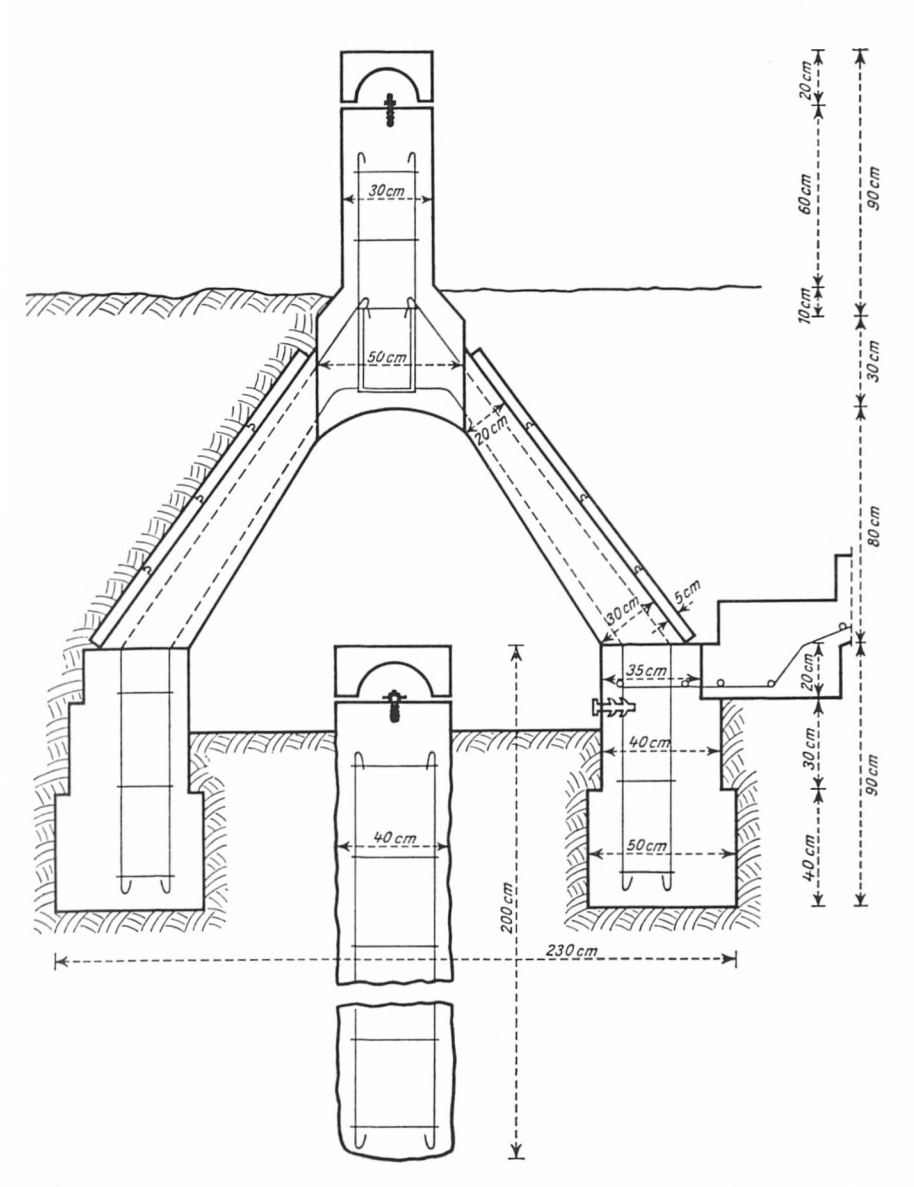


Abb. 4. Festlegung 0,432,864 m der Invardrahtstrecke mit Dittrichscher Festlegung und ständiger oberirdischer Vermarkung

<sup>15</sup> München Ak. Sb. 1962

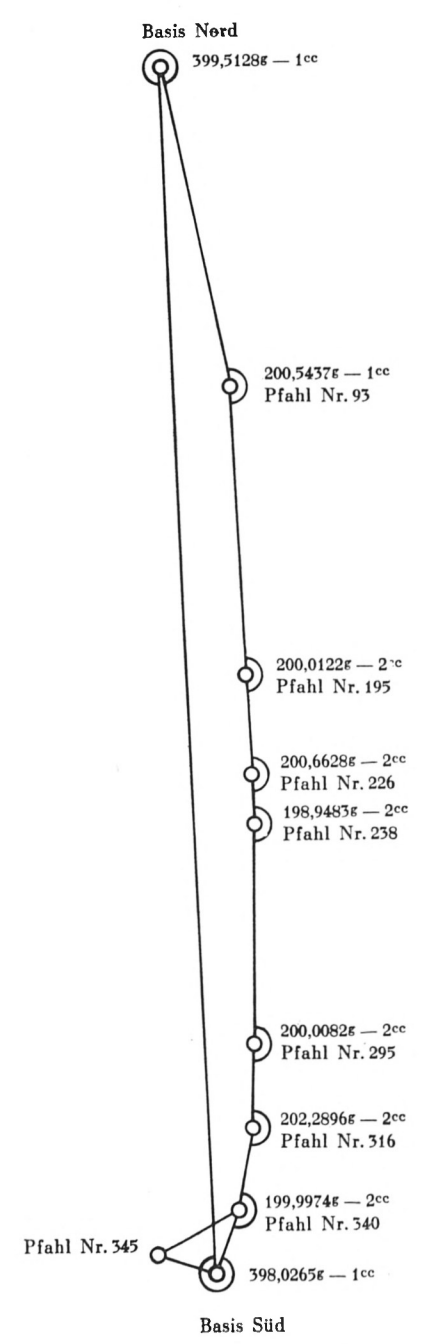


Abb. 5. Skizze von der Basis bei München und der 1958 gemessenen Brechungswinkel

Die Invardrahtmessung wurde zunächst unter Leitung des IfAG (II. Abteilung des DGFI) in der Zeit vom 10. 9. bis 20. 9. 1958 von vier Frankfurter Meßtrupps und einem Münchner Trupp mit je zwei Drähten, also mit insgesamt 10 Drähten hin und zurück, durchgeführt.

Im Anschluß hieran wurde unter Leitung der I. Abteilung des DGFI vom 27. 9. bis 3. 10. 1958 mit anderem Gerät, anderen Drähten und je einem Meßtrupp der I. Abteilung des DGFI, des Geodätischen Instituts der Technischen Hochschule München, des Österreichischen Bundesamts für Eich- und Vermessungswesen und eines gemischten Meßtrupps der Eidgenössischen Landestopographie und des Geodätischen Instituts der Eidgenössischen Technischen Hochschule Zürich die Basis mit insgesamt 8 Drähten ein zweitesmal vollständig ausgemessen.

Ohne auf die Einzelheiten der Basismessung einzugehen, werden hier die Ergebnisse unmittelbar mitgeteilt.

Aus den Tabellen 4 und 5 entnehmen wir die endgültigen Werte und stellen sie in Tabelle 6 nochmals einander gegenüber.

#### Die Geodimeter- und Tellurometermessungen auf der Ebersberger Basis

Die neue Ebersberger Basis wurde in den letzten Jahren mehrmals lichtelektrisch und elektronisch ausgemessen.

#### Die Geodimetermessungen

Die ersten Geodimetermessungen auf der Ebersberger Basis führten im April 1959 die Herren Dr. J. Mitter und Dr. E. Senftl vom Österreichischen Bundesamt für Eich- und Vermessungswesen mit einem Geodimeter von E. Bergstrand, Typ NASM-2 der Firma AGA-Stockholm aus; sie haben für die Basis die Länge

$$B = 8231,879 \text{ m}$$

gefunden. Zu systematischen Geodimetermessungen mit einem neuen Geodimeter, Typ NASM-4 kam es im Juni 1962. Die Messungen führten die Herren Dr. Messerschmidt und Dipl-Ing. Herzog vom DGFI, I. Abt. auf meine Anordnungen hin durch. Dabei wurden zunächst Teilstrecken auf der Normalstrecke mit 77,5 m, 221,6 m, 437,6 m, 653,6 m und schließlich 869,6 m bei Tage ausgemessen. Die Einzelergebnisse zeigen die Tabellen 7a

mit 7c. Dabei sind in den Spalten 9 jeweils die Einzelmessungen der Invardrahtstrecke gegenübergestellt und in den Spalten 10 und 11 die mittleren Fehler der Geodimetermessungen sowie die Verbesserungen der Einzelmessungen und die Abweichung des Mittelwerts von der Invardrahtmessung ausgewiesen. Diese Abweichungen liegen für Strecken zwischen 200 m und 870 m zwischen 2 mm und 7 mm und zeigen die hohe Genauigkeit der Geodimetermessungen auf kurze Strecken bei Tageslicht.

Nach ersten Versuchen am 18.6. 1962 begannen dann am 19.6. 1962 die Geodimetermessungen auf den Signalhochbauten der Basisendpunkte, die am 22.6. und 25.6. 1962 fortgesetzt werden konnten. Die Ergebnisse hierzu sind in den Tab. 8a und 8b ausgewiesen. Dabei ergibt sich für die Abendmittel (jeweils 6–8 vollständige Messungen) eine mittlere Unsicherheit von  $\pm$  4 bzw.  $\pm$  2 mm und für das Gesamtmittel für 3 Abende eine Unsicherheit von  $\pm$  6 mm. Das Gesamtmittel der Geodimetermessungen weicht gegenüber der Invardrahtmessung um 13 mm ab. Damit steht fest, daß im Hinblick auf die praktisch notwendige Genauigkeit selbst Basismessungen mit dem Geodimeter ausgeführt werden können.

Tellurometermessungen auf der Basis München

## a) I. Abteilung des DGFI:

Zur Erfassung etwaiger instrumenteller Änderungen ist die Basis selbst zu Beginn, in der Mitte und nach Schluß der Tellurometerbeobachtungen im Vergrößerungsnetz mehrmals mit dem Tellurometer gemessen worden. Dabei wurde auch versucht, den Einfluß der Wetterverhältnisse und etwaige vom Gelände abhängige Unterschiede zwischen Hin- und Rückmessung festzustellen. Insgesamt liegen 15, an drei verschiedenen Tagen ausgeführte Einzelmessungen vor, die in Tabelle 9 zusammengestellt sind.

Die Messungen eines Tages stimmen gut mit den an verschiedenen Tagen, in verschiedenen Richtungen und teilweise unter stark unterschiedlichen atmosphärischen Verhältnissen ausgeführten Messungen überein. Bis auf eine Ausnahme (Messung am 20. 8. 1958 um 14.35 Uhr) liegen alle Mittelwerte innerhalb von 7 Zentimetern zusammen.

Tabelle 4 Ergebnis der Basismessung Ebersberg im Messungshorizont DGFI - I. Abteilung

1	2	3	4	5	6	7
	Lat	oreichw	erte	Normals	treckene	ichwerte
Draht	Basislänge 8 232 000	Ge- wicht P	Verbesse- rungen Basislänge 8 232 000		Ge- wicht P	Verbesse- rungen
	mm		mm	mm		mm
	+			+		
98	574,119	11	14,435	555,951	2	+ 1,161
99	563,535	11	3,851	557,119	2	- 0,007
509	555,747	2	+ 3,937	545,143	2	+ 11,969
510	555,921	2	+ 3,763	562,304	2	<b>—</b> 5,192
511	551,844	1 2	+ 7,840	548,903	12	+ 8,209
526	555,947	2	+ 3,737	560,287	2	3,175
527	564,809	2	- 5,125	566,062	2	- 8,950
529	561,859	1 <sup>3</sup>	- 2,175	557,019	2	+ 0,093
Mittel	+ 559,684	[pvv	] = 429,1775	+ 557,112	[pvv	[] = 590,8948
$m_0$	$\sqrt{\frac{429,17}{7}}$	75 =	± 7,83 mm	$\sqrt{\frac{590,899}{7}}$	= =	± 9,19 mm
$m_{i}$	$\frac{7}{V}$	83 =	± 2,26 mm	$\frac{9,1}{\sqrt{1}}$	9 5 = :	± 2,37 mm
В	' asislänge im 1	Messun	gshorizont	•		

aus Laboreichwerten:

8 232 559,68 mm

Basislänge im Messungshorizont aus Normalstreckeneichwerten:

8232557,11 mm

Längendifferenz im Sinne

Normalstreckeneichung minus Laboreichung:

- 2,57 mm

das ist:

 $-0.3 \times 10^{-6}$ 

<sup>&</sup>lt;sup>1</sup> Laboreichung nur nach der Basismessung

<sup>&</sup>lt;sup>2</sup> Knick während der Basismessung

<sup>&</sup>lt;sup>3</sup> Knick vor der ersten Normalstreckenmessung

Tabelle 5
Ergebnis der Basismessung Ebersberg im Messungshorizont
DGFI – II. Abteilung

1	2	3	4	5	6	7		
	Lal	oreichw	erte	Normal	streckene	ichwerte		
Draht	Basislänge 8 232 000	Ge- wicht	Verbesse- rungen v	Basislänge 8 232 000	Ge- wicht	Verbesse- rungen v		
	mm		mm	mm		mm		
	+			+				
A 27	554,191	2	+ 8,615	557,483	2	— 1,078		
301	552,048	2	+ 10,758	561,345	2	4,940		
302	554,068	2	+ 8,738	559,934	2	- 3,529		
84536	559,738	2	+ 3,068	554,402	2	+ 2,003		
36	559,868	2	+ 2,938	551,786	2	+ 4,619		
37	572,449	2	<b>—</b> 9,643	553,730	2	+ 2,675		
38	570,168	2	- 7,362	560,028	2	— 3,623		
381	583,451	2	20,645	551,523	2	+ 4,882		
382	564,173	2	— 1,367	555,236	2	+ 1,169		
383	557,904	2	+ 4,902	558,573	2	2,168		
Mittel	+ 562,806	[pvv]	= 1767,3014	+ 556,405	[pvv]	] = 227,0984		
$m_0$	$\sqrt{\frac{1767,30}{9}}$	= :	± 14,01 mm	$\sqrt{\frac{227,09}{9}}$	<del>84</del> = =	± 5,02 mm		
$m_{i}$	$\frac{14,0}{\sqrt{2}}$	$\frac{01}{0} = 1$	± 3,13 mm	y 5,0 V :	20 =	± 1,12 mm		

Basislänge im Messungshorizont aus Laboreichwerten

8 2 3 2 5 6 2 , 8 1 mm

Basislänge im Messungshorizont aus Normalstreckeneichwerten

8 232 556,40 mm

Längendifferenz im Sinne Normalstreckeneichung minus Laboreichung:

-- 6,41 mm

das ist:

 $-0.8 \times 10^{-6}$ 

#### Tabelle 6

Endergebnis der Basismessung München-Ebersberg Basislänge aus Laboratoriumseichwerten im Messungshorizont

I. Abt. DGFI: 8232559,68 mm  $\pm$  2,26 mm

II. Abt. DGFI: 8232562,81 mm  $\pm$  3,13 mm

Mittel: 8232 561,24 mm  $\pm$  1,56 mm

Differenz: — 3,13 mm

Basislänge aus Normalstreckeneichwerten im Messungshorizont

I. Abt. DGFI: 8232557,11 mm  $\pm$  2,37 mm

II. Abt. DGFI: 8232556,40 mm  $\pm$  1,12 mm

Mittel: 8232556,75 mm  $\pm$  0,35 mm

Differenz: + 0,71 mm

Damit weichen die Mittelwerte für die Basislängen aus Laboratoriumseichwerten und Normalstreckeneichwerten um +4,54 mm auf 8,2 km, d. i. 0,5 · 10<sup>-7</sup>, also wieder völlig unbedeutend voneinander ab.

Entsprechend den Empfehlungen der IAG wird für die endgültige Darstellung der Basis nur die aus Normalstreckeneichwerten abgeleitete Länge benützt; also gilt für die Länge der Basis im Messungshorizont der Endwert

8232556,75 mm,

der noch mit — 710,40 mm auf die mittlere Meereshöhe zu reduzieren ist, und endgültig

8231846,35 mm

oder abgekürzt

8231846 mm .

Die Genauigkeit des Endwertes kann mit  $\pm$  2 mm veranschlagt werden.

Messungen mit dem Geodimeter NASM 4 auf der Normalstrecke Ebersberg Tabelle 7a

12	Bemerkungen		Sollänge aus Drahtmessung	1° + 200", ohne Blende	**	**	•	•	$1^{\circ} + 250''$ , mittlere Blende	:		
	щ		Sollänge	1° + 200		•	,,	•	1° + 250	:		
11	Invardraht minus Geodi- meter	mm									+21	# 2
10	a	mm		+	- 3	6 +	o #	+	- 3	10	$m_0 = \pm 6 + 21$	$m_i = \pm z$
6	Länge	щ	77,574	77,549	556	544	553	549	555	563	77,553	
8	Beob-		Invardrahtlänge:	Me	He	Me	Не	He	Me	Не	Mittel	
7	Span- nung	Volt	drahtl	9.9	6.3	9.9	8.9	6.4	8.9	6.7		
9	Druck	mm Hg	Invar	714.0 6.6	713.9	715.4	714.9	717.7	713.5	713.5		
5	Tempe- ratur	ာ့		17.7	18.0	21.6	24.6	26.2	20.2	20.2		
4	Wetter			heiter, leichter Wind	"	1/2 bedeckt, windstill		heiter, leichter Wind	Strecke im Schatten			
3	Zeit			1040	1125	1003	1320	1238	1518	1540		
61	Nr. Datum		1962	6 13.6.		14 14.6.	:	23 15.6.	26. 6. 1518	ï		
н	N.			9	^	14	18	23	49	50		

Sollänge aus Drahtmessung	$^{1\circ}$ + 200", ohne Blende							" "	:					
		•								- 5	+ 5			
	3	7	+	+	11	+	1	6 +	1	$m_{0} = \pm 6$	$m_i = \pm 2$	-	.1	
Invardrahtlänge: 221,570	221,575	574	571	571	583	295	574	563	573	221,572				
länge:	Me	He	Me	He	Во	Me	He	Me	Не	Mittel				
draht	8.9	6.5	6.3	6.8	6.0	6.2	6.2	6.8	8.9					
Invar	712.9	713.0	715.2	714.9	717.6	712.8	712.8	713.6	714.6					
	19.8	20.3	24.0	24.4	26.0	20.2	19.8	10.3	10.6					
	heiter, windstill Strecke im Schatten	"	½ bedeckt, windstill	heiter, windstill	heiter, frischer Wind Strecke im Schatten	heiter Strecke im Schatten	"	bedeckt, diesig	Regen					
	1320	1340	1040	1355	1325	1611	1631	2258	$23^{21}$					
	13. 6.	:	14. 6.	•	15. 6.	26. 6.		:	***					is.
-	∞	6	15	19	24	51	52	65	99					

Messungen mit dem Geodimeter NASM 4 auf der Normalstrecke Ebersberg

12				54	53	20	16	11	10		- 1	Z.	-
14.6. 1505				"	26. 6.	"	14. 6.	,,	13. 6.			Nr. Datum	ю
1505				1723	1702	1432	1110	1510	1440		1	Zeit	w
leicht bewölkt Strecke im Schatten				×	Strecke im Schatten heiter, leichter Wind Strecke im Schatten	3	wechselnd bewölkt	33	heiter, Strecke i. Schatten			Wetter	4
24.4	I			19.6	19.6	24.2	23.7	21.1	21.0	I	°C	Tempe- ratur	cs
714.9 6.8	Invardrahtlänge:			712.6	712.6	714.9	715.2	712.8	21.0 712.6 6.2	Invardrahtlänge:	mm Hg	Druck	6
	ahtläi			7.4	7.2	6.6	7.0	6.1	6.2	ahtläi	Volt	Span- nung	7
He	nge:		Mittel	He	Ме	He	Me	He	Me	nge:		Beob- achter	80
653,574	653,576		437,589	592	594	595	589	582	437,580	437,593	m	Länge	9
		$m_i = \pm 3$	$ m_0  = \pm 6 + 4$	- 3	ļ	- 6	H 0	+7	+9		mm	в	10
+ 2		±3	+								mm	Invar- draht minus Geodi- meter	11
$_{3} Pr. (1^{\circ} usw.) + 3 \times 50''$ ,	Sollänge			"	1° + 50″	" "	" "	" "	3 Pr.(1° usw.) + 3 × 50" o. Blende	Sollänge		Bemerkungen	12

761

Messungen mit dem Geodimeter NASM 4 auf der Normalstrecke Ebersberg Tabelle 7c

eisbeig	12	Bemerkungen		Sollänge	$_{3}\mathrm{Pr.}(\cdot,\cdot,\cdot,\cdots)+_{3}\times_{5}\mathrm{o''}$ o. Blende	33	" Sonne gegen	", "Meßrichtg!	,, ,,	33 33	11 11	", ", Starker Spannungsab-	fall! Ursache nicht ge-	Nidit
CRC EL	11	Invar- draht minus Geodi- meter	mm										+7	#2
Illaistic	10	а	mm		+	+	0	+ 7	+	2	- 15	+	$869,619 \mid m_0 = \pm 7$	$m_i = \pm 2$
out tan i	6	Länge	æ	869,626	869,617	617	619	612	614	621	634	618	869,619	
M 4 au	8	Beob- achter		nge:	Me	He	Me	Не	Me	He	Me	He	Mittel	
CUM	7	Druck Span-	Volt	rahtlä	6.0 Me	7.0	6.9	7.0	7.3	7.4	7.7	713.4 7.2-6.4		
meren	9		mmHg	Invardrahtlänge:	712.4	712.6	715.0	714.9	712.4	712.4	713.2	713.4		
Coor	S	Tempe-	၁		21.2	21.2	24.4	24.2	19.8	19.0	11.2	10.0		
Messungen nnt den Geografiete 1873 A auf dei Mohmaistietke Edeisbeig	4	Wetter			heiter, windstill Strecke im Schatten		heiter	**	heiter, Strecke i. Schatten heiter, windstill Strecke im Schatten		bedeckt, vorher Regen	,,		
	3	Zeit			1538	1602	1212	1535	1752	1810	2104	2153		
	8	Nr. Datum			13. 6.		14.6.		26. 6.		3.5			
	I	Z.			12	13	17	22	75	56	57	58		

Messungen mit dem Geodimeter NASM 4 auf der Basis Ebersberg Tabelle 8a

		g																			
0	12	Bemerkungen																			
	II	Invardraht minus Geodi- meter	mm																		_
	OI	a	mm	+	6	+	+ 13	9 +	111	$m_0 = \pm 9$	$m_i = \pm 4$	+	5	9 —	6+	+ 10		8	- 2	$m_0 = \pm 7$	$m_i = \pm 2$
	6	Länge (Schrägent- fernung im Messungs- horizont)	ш	8232,989	666	988	977	984	3,001	$8232,990 m_0 = \pm 9$		8233,005	014	015	000	2,999	3,010	017	011	Mittel $ 8233,009  m_0 = \pm 7$	
	8	Beob- achter		Me	He	Me	He	Me	He	Mittel		Me	He	Me	Не	Me	He	Me	He	Mittel	
	7	Span- nung	Volt	6.4	7.1	7.1	7.1	7.0	7.0			7.4	7.4	6.4	6.4	6.4	7.3	7.3	7.2		
	9	Druck	mmHg	711.0	711.2	711.3	711.0	711.1	711.2			714.8	715.2	715.0	715.0	715.2	715.2	715.2	715.3		
	3	Tempe- ratur	ွင	17.4	17.0	16.6	16.1	15.6	16.0			22.9	22.9	22.8	22.7	22.6	22.5	22.6	22.5		
	4	Wetter		bedeckt, windig	"	Regen	:	leichter Regen	bedeckt			klar, windstill		:	:	•	***	:	•		
	3	Zeit		2020	2114	2135	2201	2222	2246			2045	2110	2132	2122	2212	2233	2254	$23^{15}$		
	п	Nr. Datum		19.6.		:		:	:			22. 6.		:	"	:	:				
	н	N.	_		78	29	30	31	32			33	34	35	36	37	38	39	40		

Tabelle 8b Messungen mit dem Geodimeter auf der Basis Ebersberg

										us.	,,,,,,,,,,,,,,,,,,,,,,,,,,,,,,,,,,,,,,,		0110							1,
12	Bemerkungen		vorher Birnenwechsel		bei 6.2 V nur Halbausschlag,	bei 7.0 V Vollausschlag am	Nullindikator						$-1,143^1 = 8231,847 \text{ m}$	$-1,143 = 8231,866 \mathrm{m}$	$-1,143 = 8231,864 \mathrm{m}$	= 8231,859 m	Die Differenz Drahtmessung	minus Geodimeter	beträgt — 13 mm	
II	Invardraht minus Geodi- meter	mm																m	m :	
OI	a	mm	+ 10	+ 3	+ 3	+	1	- 3	- 7	о Н	$m_0 = \pm 5$	$m_i = \pm 2$	E	ш	ш	ш	ш	8231,859 m ± 0,006 m	8231,846 m ± 0,002 m	
6	Länge (Schrägent- fernung im Messungs- horizont)	m	8 232,997	3,004	004	900	012	010	014	200	Mittel 8233,007	_	8 232,990 m	8 233,009 m	8233,007 m	8233,002 m	± 0,000 m	8231,859	8231,846	
80	Beob- achter		Me	He	Me	He	Me	Не	Me	He	Mittel						n)	_		
7	Span- nung	Volt	7.2	7.0	7.2	7.3	7.3	7.3	7.2	7.2							ntmittel	ssunger		
9	Druck	mmHg	714.4	714.4	714.4	714.3	714.2	714.3	714.2	714.1							rei Nacl	neterme	ressg.	
2	Tempe- ratur	°C	15.7	15.5	15.0	14.7	14.4	14.2	14.0	13.9							l aus di	Geodin	Drahtn	
4	Wetter		leicht bed. schwach dunstig 15.7	4.6	zunehmend bewölkt, Dunst	:	wieder klarer		leicht bedeckt, windstill	,,						Schräger Abstand Basis Nord - Basis Süd	im Horizont der Beobachtung (einfaches Mittel aus drei Nachtmitteln)	rd - Basis Süd in N.N. aus Geodimetermessungen	Abstand Basis Nord - Basis Süd in N.N. aus Drahtmessg.	r. Ak. d. W. Nr. 103 S. 28)
3	Zeit		2058	2120	2147	2208	22 28	22 47	2302	2318						bstand	t der Be	asis No	asis No	l. Bayeı
CI.	Nr. Datum		1962 25. 6.	, 6		11		,,	,,	9.9						räger A	Horizon	Abstand Basis Nord	tand Ba	(aus Abh. d. Bayer.
ı	Ä.		4	42	43	4	45	46	47	48						Sch	im I	Abs	Abs	(ans

<sup>1</sup> Z der Reduktionen (entnommen aus Abhandl. der Bayer, Akad. d. Wiss. Nr. 100 S. 25)

Tabelle 9

Tellurometermessungen auf der Basis München

DGFI – I. Abteilung

Tag	Uhrzeit	Sphäroidische Seitenlänge ${\cal S}$	Meßrichtung		
	h m	m			
20. 8. 1958	12.00	8 2 3 1 , 9 2 8			
	13.00	8231,946			
	13.30	8 2 3 1,944			
	14.00	8 2 3 1,938			
	14.35	8 2 3 2 , 0 4 1 ]			
13. 9. 1958	9.30	8231,925			
-	10.00	8231,918			
	10.30	8 2 3 1 , 9 4 2			
	11.00	8 231,908 J			
19. 9. 1958	9.45	8 2 3 1 , 9 3 4			
	10.00	8 2 3 1 , 8 9 5			
	10.30	8 2 3 1 , 8 7 7			
	14.00	8231,914			
	15.00	8 2 3 1 , 8 6 6			
	15.15	8231,863			
		Mittelwerte:			
20. 8. 1958		$S = 8231,959 \text{ m} \pm 2,1 \text{ cm}$			
13. 9. 1958		$S = 8231,923 \text{ m} \pm 0.7 \text{ cm}$	-		
19. 9. 1958		$S = 8231,892 \text{ m} \pm 1,1 \text{ cm}$	<del>-</del>		

Gesamtmittel der Tellurometermessungen	$S_T' = 8231,923 \mathrm{m} \pm 1,1 \mathrm{cm}$
Drahtmessung	$S_0 = 8231,846 \text{ m}$
Differenz	$= + 0.077 \mathrm{m}$

Aus allen Beobachtungen zusammen ergeben sich die mittleren Fehler

 $m_S=$  m. F. der einmal gemessenen Seite  $\pm$  3,2 cm,  $\mu_S=$  m. F. des arithmetischen Mittels  $\pm$  0,8 cm.

#### b) II. Abteilung des DGFI:

Auch bei den Tellurometermessungen der II. Abteilung des DGFI ist die Seite "Basis Süd – Basis Nord" mehrfach bestimmt worden; für die reduzierte, auf die Punktzentren bezogene sphäroidische Seitenlänge ergaben sich dabei die Werte der Tabelle 10.

Tabelle 10

Tellurometermessungen auf der Basis München

DGFI – II. Abteilung

Tag	Sphäroidische Seitenlänge	Wetterverhältnisse	Tempe- ratur
	m		°C
24. 8. 1958	8231,74	2/10 bedeckt, windig	16,3
24. 8. 1958	8 2 3 1 , 7 5	2/10 bedeckt, windig	16,3
24. 8. 1958	8 2 3 1 , 8 1	8/10 bedeckt, windig	17,6
24. 8. 1958	8 2 3 1 , 8 2	8/10 bedeckt, windig	18,2
24. 8. 1958	8231,82	9/10 bedeckt, windig	17,4
6. 10. 1958	8 2 3 1 , 8 7	8/10 bedeckt, dunstig	12,5
10. 10. 1958	8 2 3 1 , 8 2	sonnig	15,9
10. 10. 1958	8 2 3 1 , 8 4	sonnig	17,1

Daraus ergibt sich folgender Mittelwert:

Gesamtmittel der Tellurometermessungen	$S_T'' = 8231,81 \text{ m} \pm 1,6 \text{ cm}$
Drahtmessung	$S_0 = 8231,846 \mathrm{m}$
Differenz	= — 0,036 m

Mittelt man die beiden Ergebnisse, so erhält man aus

I. Abt. II. Abt. 
$$S'_T = 8231,92 \text{ m}$$
 und  $S''_T = 8231,81 \text{ m}$ 

für die Länge der Basis in völliger Übereinstimmung mit den Geodimetermessungen das Gesamtmittel

$$S_T = 8231,86 \text{ m},$$

gegenüber dem Ergebnis der Drahtmessung (8231,85 m) also ebenfalls nur eine Differenz von zufällig nur 0,01 m.

### III. Basisvergrößerungsnetz München – Ebersberg

Die Erkundung und Bebauung des Basisvergrößerungsnetzes München-Ebersberg übernahm das Bayerische Landesvermessungsamt.

Das Netz umfaßt folgende Punkte:

München, nördlicher Frauenturm, Alte Helmstange;

Schweitenkirchen, Festlegung I. Ordnung;

Parsdorf, Festlegung II. Ordnung;

Aufkirchen, Platte III. Ordnung mit Leuchtbolzen unter dem Gerüst 1958;

Basisendpunkt Nord;

Basisendpunkt Süd,

also insgesamt sechs Stationen mit zwölf hin- und zurückbeobachteten Seiten.

Die Beobachtung des Basisvergrößerungsnetzes erfolgte durch direkte Winkelmessung unter Beachtung der von Prof. Dr. H. Wolf vorgerechneten Schreiberschen Gewichte. Herr ORR Dr. Weigand vom Bayerischen Landesvermessungsamt hat für statistische Vergleiche zusätzliche Winkel- und Richtungsbeobachtungen durchführen lassen, auf die wir weiter unten zu sprechen kommen. Die Anordnung der Winkelmessung nach dem Schreiberschen Satz entnehmen wir der Abb. 6, die Ergebnisse der Winkelbeobachtungen der Tabelle 11. Beobachtet wurde mit zwei Wild T 4- und einem Wild T 3-Theodoliten.

Die Ausgleichung des Basisvergrößerungsnetzes München – Ebersberg erfolgte rein geometrisch und zwangsfrei.

Es ergaben sich 7 Dreiecksbedingungen (Nr. 1–7), 1 Zentralund 2 Diagonalbedingungen ( $\Theta$  Nr. 8, X Nr. 9 und 10), insgesamt also 10 Bedingungen.

Um kleinere Zahlen zu erhalten, wurden die Gewichte mit  $p = \frac{\text{Anzahl der Sätze}}{4}$  angesetzt.

Wie üblich wurden für das Netz unbestimmte Korrelatenkoeffizienten, daraus durch Einsetzen der Widersprüche die bestimmten Korrelaten und weiter die Verbesserungen v der Winkel berechnet. Die unbestimmten Korrelatenkoeffizienten wurden durch Einsetzen in die Normalgleichungen verprobt.

Für die Übertragungsgleichung (Gewichtsübertragung Basis Ebersberg – Dreiecksseite München/Schweitenkirchen) wurde erhalten:

$$[AA] = 0,280$$
. Daraus folgt  $p_s = \frac{1}{[AA]} = +3,573$ .

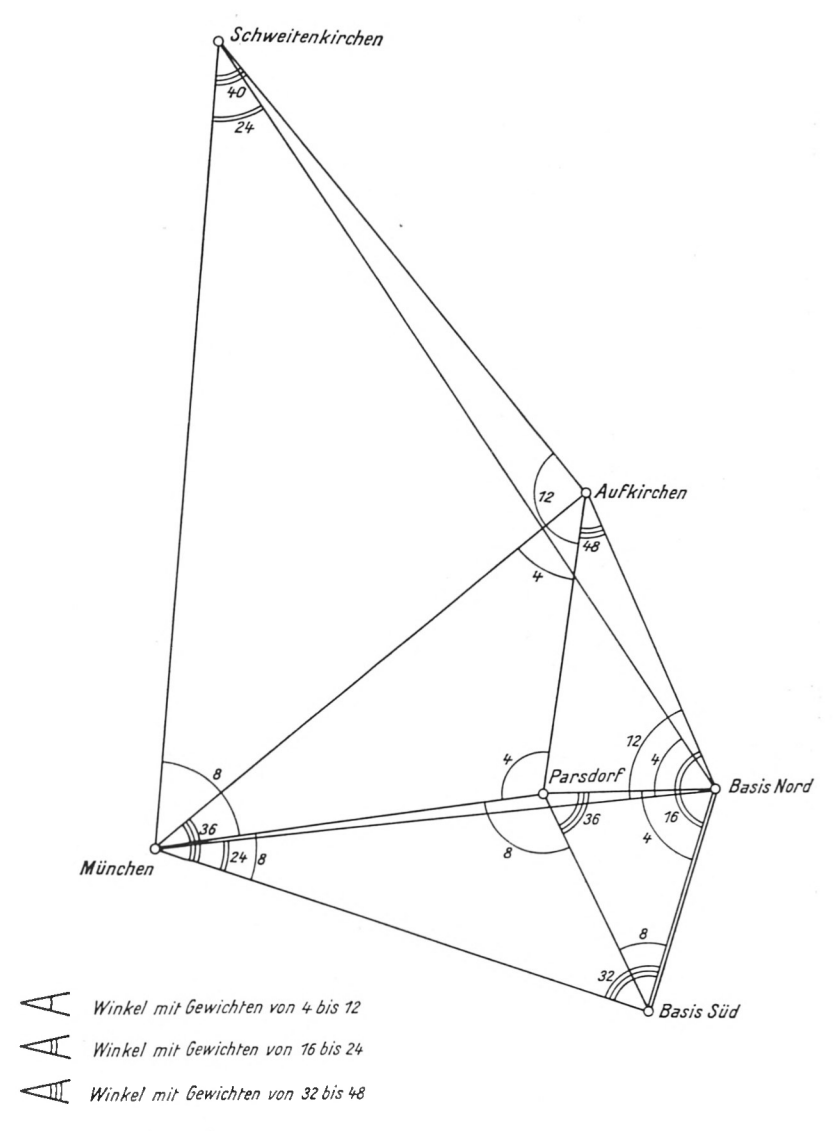


Abb. 6. Wiederholungszahlen für die Winkelbeobachtung im Basisvergrößerungsnetz

Tabelle 11 Zusammenstellung der Beobachtungen¹

			Anzahl
	P	$\iota_w$	der Sätze
Station: Schweitenkirchen, Festl. I. O.		w	
Winkel $1-3 = 43^{\circ}15'25,48''$	====	± 0,07"	40
Winkel $2-3 = 36^{\circ}53'22,73''$	-	0,08"	24
Station: Aufkirchen, Platte mit Leuchtbolzen			
Winkel $4-5 = 30^{\circ}13'17,48''$	= 7	0,07"	48
Winkel $5-6 = 41^{\circ}31'22,87''$	==	0,21"	4
Winkel $5-7 = 132^{\circ}49'12,96''$	=	0,11"	12
Station: Basis Nord			
Winkel $17-19 = 73^{\circ}19'09,19''$	=	0,30"	4
Winkel $17-21 = 144^{\circ}27'19,87''$	=	0,12"	16
Winkel $18-20 = 61^{\circ}06'07,84''$		0,22"	4
Winkel $18-21 = 71^{\circ}41'34,91''$		0,12"	12
Station: Basis Süd			
Winkel $22-24 = 90^{\circ}11'58,14''$	==	0,10"	32
Winkel $23-24 = 56^{\circ}58'09,29''$	=	0,13"	8
Station: Parsdorf, Neufarner Berg, Festl. II. O.			
Winkel $14-15 = 49^{\circ}42'41,87''$	=	0,07"	36
Winkel $15-16 = 129^{\circ}28'02,88''$	=	0,13"	8
Winkel $16-13 = 102^{\circ}10'43,40''$	===	0,20"	4
Station: München, Frauenkirche, Ostpfeiler			
Winkel $8-10 = 81^{\circ}44'40,66''$	==	0,16"	8
Winkel $9-12 = 53^{\circ}36'02,36''$	-	0,08"	36
Winkel 10–12 = 17°18′08,21″	=	0,15"	8
Winkel $11-12 = 17^{\circ}02'16,89''$	===	0,10"	24

Die Gewichtseinheit ist ein einmal beobachteter Winkel. Fehlerrechnung.

Aus der Ausgleichung ergab sich weiter:

$$[-wk] = [pvv] = 2,0913.$$

Daraus folgt der mittlere Fehler der Gewichtseinheit

$$m_0 = \pm \sqrt{\frac{[pvv]}{r}} = \pm 0.46''.$$

Die Verbesserungen v und die ausgeglichenen sphäroidischen Winkel zeigt Tabelle 12, wobei hier lediglich die Spalte Verbesserung interessiert.

<sup>&</sup>lt;sup>1</sup> Hier sind alle Beobachtungen nach München, Frauenkirche auf den Ostpfeiler bezogen.

Tabelle 12
Zusammenstellung
der ausgeglichenen sphäroidischen Winkel<sup>1</sup>

Standpunkt	Richtungs- differenz	Beobachtete Winkel	Ausgeglichene Winkel	Verbesse- rung
		0 / //	0 / //	11
München, nördl.	8 – 10	81 44 25,00	81 44 25,151	+ 0,151
Frauenturm A HS	9-12	53 35 25,82	53 35 25,854	+ 0,034
	10-12	17 17 50,43	17 17 50,932	+ 0,502
	11 - 12	17 02 03,85	17 02 03,983	+ 0,133
Schweitenkirchen	1 - 3	43 15 55,25	43 15 55,183	- 0,067
Festl. I.O.	2 - 3	36 53 52,50	36 53 52,699	+ 0,199
Aufkirchen,	4 - 5	30 13 17,48	30 13 17,475	-0,005
Platte III.O.	5 - 6	41 31 55,74	41 31 56,362	+ 0,622
unter Gerüst 58	5 - 7	132 49 12,96	132 49 13,027	+ 0,067
Basis Nord	17 - 19	73 19 09,19	73 19 08,893	0,297
Endpunkt	17 - 21	144 27 19,87	144 27 20,155	+ 0,285
	18 – 20	61 05 58,47	61 05 58,089	0,381
	18 - 21	71 41 25,54	71 41 25,483	- 0,057
Basis Süd	22 - 24	90 12 01,81	90 12 01,905	+ 0,095
Endpunkt	23 - 24	56 58 09,29	56 58 09,440	+ 0,150
Parsdorf	14 - 15	49 42 41,87	49 42 41,847	0,023
Festl. I.O.	15 - 16	129 28 16,99	129 28 16,988	0,002
	16-13	102 10 29,29	102 10 29,519	+ 0,229

Für die Seite München – Schweitenkirchen folgt der mittlere relative Längenübertragungsfehler

$$m_{s_0}=\pm rac{m_0''}{p''}\sqrt{[A\,A]}=\pm$$
 1,2 mm/km

und der mittlere absolute Längenübertragungsfehler

$$m_s = m_{so} \cdot S = \pm 48 \text{ mm}.$$

Die Seitenberechnung erfolgte ausgehend von der Länge der Basis Ebersberg mit 8231,846 m, die Koordinierung im Anschluß an den TP I.O. München, nördl. Frauenturm, Alte Helmstange, und an das Azimut München – Schweitenkirchen, TP.

In Tabelle 13 sind die trigonometrisch bestimmten Längen der Seiten des Vergrößerungsnetzes und in Tabelle 14 die zu-

<sup>&</sup>lt;sup>1</sup> Alle Beobachtungen mit München, Frauenkirche sind auf den nördl. Turm, alte Helmstange bezogen.

gehörigen Gauß-Krüger-Koordinaten (3<sup>0</sup>-Streifen, Bessel-Ellipsoid) zusammengestellt.

Tabelle 13

Zusammenstellung der sich ergebenden Seiten, wobei Basis
Ebersberg gleich 8 231,846 m ist

Seite von nach	Sphäroidische Länge, bei Ausgleichung nach Winkeln
	m
München - Schweitenkirchen	40974,215
Aufkirchen	28089,810
Parsdorf	19053,239
Basis Süd	26838,502
Basis Nord	28100,081
Aufkirchen – Schweitenkirchen	29 205,720
Parsdorf	17 009,315
Basis Nord	17 622,702
Basis Nord – Parsdorf	9047,466
Schweitenkirchen	46348,054
Basis Süd – Parsdorf	10337,497
Basis Nord	8231,846

Tabelle 14 Zusammenstellung der Koordinaten

Punkt	Koordinaten bei Aus- gleichung nach ungleich- gewichtigen Winkeln
	m
Schweitenkirchen	y = 4471094,104 x = 5374373,640
Aufkirchen	y = 44 89 628,990 $x = 53 51 802,841$
Basis Nord	y = 4496354,323
Basis Süd	x = 53 35 513,889 y = 44 94 487,208
Parsdorf	x = 53 27 496,583 $y = 44 87 324,418$
München	x = 53 34 950,340 y = 44 68 326,910

## Die Tellurometer- und Geodimetermessungen im Basisvergrößerungsnetz München – Ebersberg

Auch das Basisvergrößerungsnetz München – Ebersberg wurde von zwei verschiedenen Meßtrupps der I. und II. Abteilung des DGFI mit verschiedenen Tellurometern mehrmals ausgemessen. Gleichzeitig wurden neben der Basis auch vier weitere Seiten des Basisvergrößerungsnetzes mit einem Geodimeter vermessen. Es sollen auch hier wiederum nur die beobachteten Seitenlängen und die sich daraus ergebenden Vergleiche aufgezeigt werden.

Tabelle 15 Vergleich der Tellurometermessungen. Vergleich der gemessenen Seiten

Netzseite  Spalte 1  yon nach	Sphäroidische Entfernung I. Abteilung (Beobachtet) Spalte 2	Sphäroidische Entfernung II. Abteilung (Beobachtet) Spalte 3	Differenz der Spalten 2–3 Spalte 4
von nach	m	m	cm
München-Deutenhausen München-Schweitenkirchen München-Aufkirchen	20056,738 40974,775 28090,096 19053,405 28100,324 26838,674 20918,199 20003,694 29206,034 ————————————————————————————————————	40 974,680 28 090,238 19 053,424 28 100,279 26 838,640 — 29 205,901 42 633,611 46 348,344 17 009,551 17 622,967 24 787,185 9047,512 10 337,475 8 231,809	
* *	$\sqrt{\frac{[dd]}{n}} =$	$\sqrt{\frac{1371,10}{12}}$	= ± 10,7 cm
·			

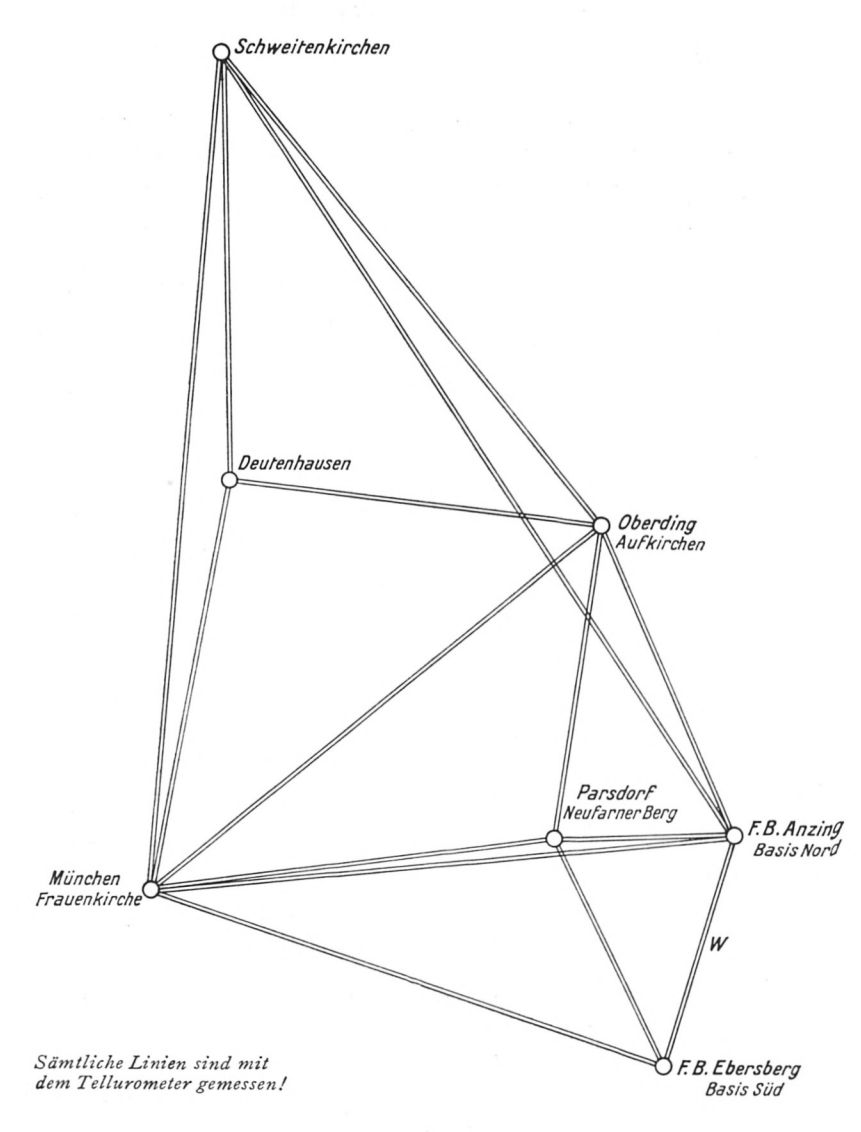


Abb. 7
Basisvergrößerungsnetz München-Ebersberg
Tellurometermessungen 1958 der I. Abt. des DGFI

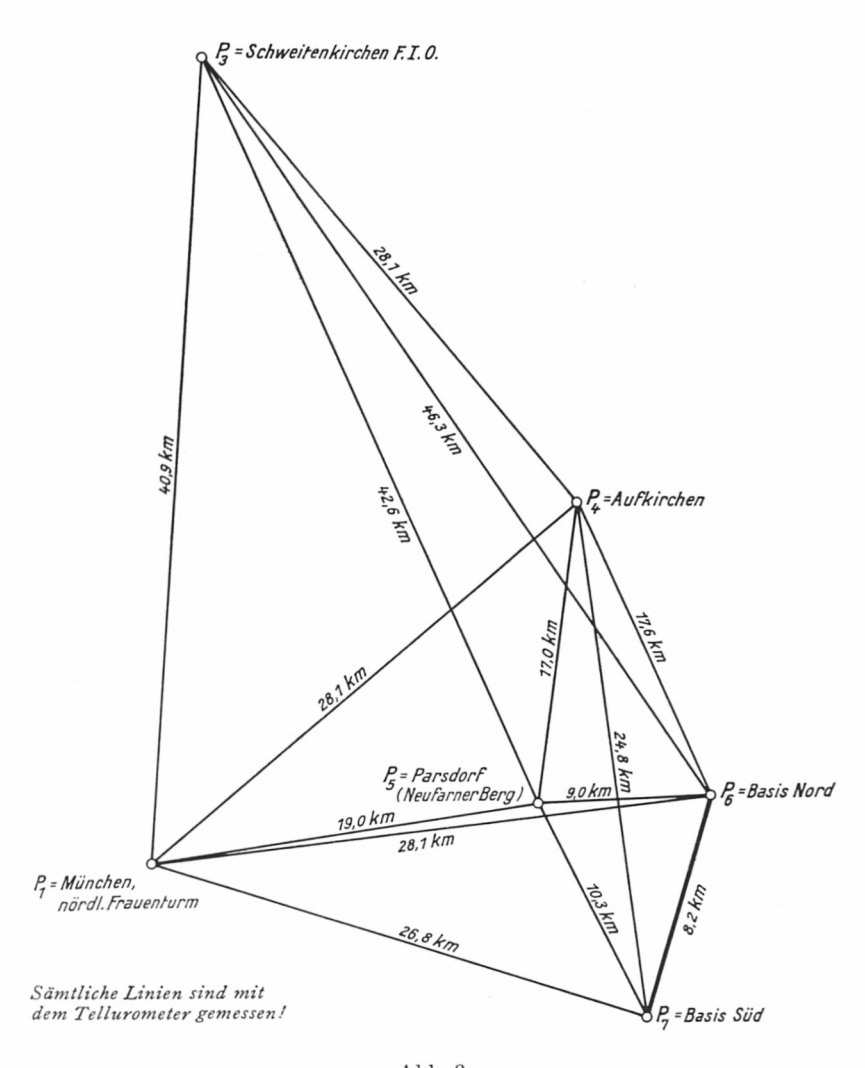


Abb. 8.

Basisvergrößerungsnetz München
Tellurometermessungen 1958 der II. Abt. des DGFI

206 Max Kneißl

# Tellurometermessungen im Basisvergrößerungsnetz

Die Tellurometermessungen der I. und II. Abteilung des DGFI im Basisvergrößerungsnetz sind in Abb. 7 und 8 dargestellt und mit sämtlichen Reduktionen in Tabelle 15 zusammengestellt. Die Ergebnisse der Ausgleichung der beiden Streckennetze enthält Tabelle 16. Die Beobachtungsdifferenzen zwischen den beiden Abteilungen erreichen bis zu 2 dm, die mittleren Differenzen betragen rund 1 dm.

Tabelle 16
Vergleich der ausgeglichenen Tellurometer-Netze

Netzseite	Sphäroidische Seiten Ausgleichung II der I. Abteilung Gleichgewichtig (mit TP Deutenhausen)	Ausgleichung I	Differenzen der Spalten $\frac{2-3}{d}$
Spalte 1	Spalte 2	Spalte 3	Spalte 4
von — nach	(m)	(m)	(cm)
München-Deutenhausen	20056,684 40974,817 28090,108 19053,367 28100,353	40974,673 28090,245 19053,416 28100,290	$ \begin{array}{rrr}  & - & \\  & + & 14.4 \\  & - & 13.7 \\  & - & 4.9 \\  & + & 6.3 \end{array} $
München-Basis Süd Deutenhausen-Schweitenkirchen Deutenhausen-Aufkirchen Schweitenkirchen-Aufkirchen	26838,666 20918,144 20003,695 29205,976	26838,631	+ 3,5 - + 11,0
Schweitenkirchen-Parsdorf Schweitenkirchen-Basis Nord Aufkirchen-Parsdorf	46 348,606 17 009,543 17 622,968 — 9047,610 10 337,582 8 231,917	42 633,613 46 348,382 17 009,556 17 622,924 24787,189 9047,498 10 337,483 8 231,801	$ \begin{array}{cccccccccccccccccccccccccccccccccccc$
	$\sqrt{\frac{[dd]}{n}} =$	$\sqrt{\frac{1472,8}{12}} =$	± 11,1 cm

### Geodimetermessungen im Basisnetz München

Auf Einladung des Deutschen Geodätischen Forschungsinstituts wurden vom Österreichischen Bundesamt für Eich- und Vermessungswesen auch mehrere Seiten des Basisentwicklungsnetzes München mit dem Geodimeter von E. Bergstrand, Type NASM-2 A der Firma AGA, Stockholm, gemessen. Die Messungen wurden von Dr. J. Mitter unter Mitwirkung von Dr. E. Senftl in der Zeit vom 9. bis 18. April 1959 ausgeführt. In diesem Zeitraum konnten folgende fünf Seiten gemessen werden (Abb. 9):

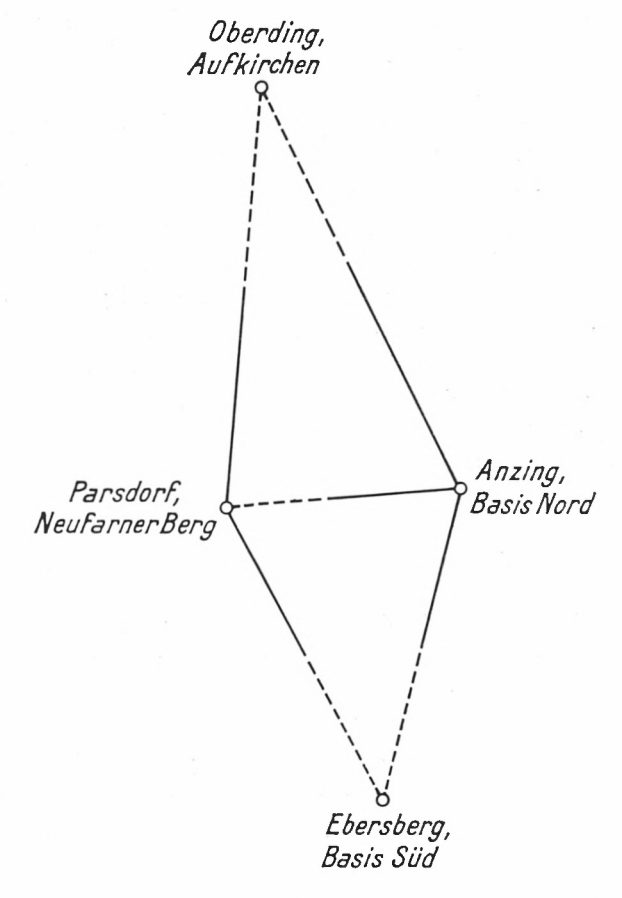


Abb. 9. Geodimetermessungen 1959 im Basisvergrößerungsnetz München-Ebersberg

- 1. Anzing, Basis Nord Ebersberg, Basis Süd,
- 2. Anzing, Basis Nord Parsdorf, Neufarner Berg,
- 3. Anzing, Basis Nord Oberding, Aufkirchen,
- 4. Parsdorf, Neufarner Berg Ebersberg, Basis Süd und
- 5. Parsdorf, Neufarner Berg Oberding, Aufkirchen.

Sie sind mit ihren Längen von 8,2 bis 17,6 km die kürzesten Seiten des Entwicklungsnetzes und bilden über der Seite Basis Nord – Neufarner Berg zwei Dreiecke. Dieser Netzteil wurde ausgewählt, um auch im Falle starken Dunstes und damit großer Absorption in dem zur Verfügung stehenden Zeitraum Messungen sicher ausführen zu können. Alle fünf Seiten konnten von den zwei Standpunkten Basis Nord und Neufarner Berg aus beobachtet werden.

Das Gelände ist leichtwelliges Flachland zwischen 480 und 610 m über NN; der Südteil ist vom geschlossenen Waldgebiet des Ebersberger Forstes bedeckt. Die Visuren und damit auch das Lichtbündel des Geodimeters verliefen entsprechend den Tischhöhen der Hochstände im Durchschnitt zwischen 20 und 50 m über Grund und ungefähr parallel zum allgemeinen Profil.

Zu Beginn der Messungen (10. bis 12. April) herrschten sehr gute Sichtverhältnisse (visuelle Sichtweite ca. 70 bis 80 km). Später ergaben sich einige Schwierigkeiten.

Die Ergebnisse stellen wir in Tabelle 17 den Tellurometermessungen gegenüber.

## Die Genauigkeit der Tellurometer- und Geodimetermessungen

Die Einzelwerte der Tellurometermessungen streuen um etwa  $\pm$  7 cm. Bei gleichgewichtiger Ausgleichung des von der I. Abteilung des DGFI gemessenen Tellurometernetzes ergibt sich ebenfalls eine mittlere Unsicherheit von  $\pm$  8 cm pro Seite, und zwar ziemlich unabhängig von der Länge der Seiten. Bei der gleichgewichtigen Ausgleichung des von der II. Abteilung beobachteten Netzes liegt der entsprechende mittlere Fehler bei  $\pm$  3 cm. Der Vergleich der Beobachtungswerte bzw. der ausgeglichenen Werte für entsprechende Seiten beider Abteilungen gibt mittlere Differenzen von etwa  $\pm$  10 cm bzw.  $\pm$  11 cm und

Tabelle 17

Gegenüberstellung Geodimetermessungen – Tellurometermessungen

Seite         Geodineter desaungen         Tellurometermessungen         Tellurometermessungen         Differenzen           von         nach         Sphäroidische         1. Abt.         11. Abt. $3-2$ $4-2$ Aufkirchen – Parsdorf         17009,583         17009,545         17009,531 $-0,032$ $-0,032$ Aufkirchen – Basis Nord         17622,974         17623,058         17622,967 $+0,084$ $-0,007$ Parsdorf         - Basis Nord         10337,540         10337,572 $+0,032$ $-0,005$ Basis Nord – Basis Süd         8231,879         8231,809 $+0,046$ $-0,005$ Basis Nord – Basis Süd         8231,925         8231,809 $+0,046$ $-0,005$ Basis Nord – Basis Süd $-0,005$ $-0,005$ $-0,005$ Basis Nord – Basis Süd $-0,005$	I	a	3	4	5	9
Sphäroidische I. Abt. II. Abt. $\frac{3-2}{d}$ $\frac{4-2}{d}$ Länge m m m m m m m m  17009,583 17009,545 17009,551 $-0.038$ $-0.032$ 17622,974 17623,058 17622,967 $+0.084$ $-0.007$ 10337,540 10337,572 10337,475 $+0.032$ $-0.005$ 8231,879 8231,809 $+0.046$ $-0.070$ $\frac{10337,540}{n} = \frac{10337,572}{n} = \frac{10337,475}{n} = \frac{10337,475}{n} = \frac{10337,475}{n} = \frac{10337,600}{n} = \frac{1037,600}{n} = 1037$	Seite	Geodimeter- messungen	Telluromete	rmessungen	Diffe	renzen
$\begin{array}{c ccccccccccccccccccccccccccccccccccc$	nach	Sphäroidische Länge	I. Abt. S	II. Abt.		4 — 2 d
$\begin{array}{c ccccccccccccccccccccccccccccccccccc$			m	a	m	m
$\begin{array}{c ccccccccccccccccccccccccccccccccccc$	arsdorf	17009,583	17009,545	17009,551	0,038	-0,032
$9047,522$ $9047,512$ $+ 0,132$ $- 0,010$ $10337,540$ $10337,572$ $10337,475$ $+ 0,032$ $- 0,065$ $8231,879$ $8231,925$ $8231,809$ $+ 0,046$ $- 0,070$ $- 0,070$ $= \sqrt{\frac{[dd]}{n}} = \sqrt{\frac{[dd]}{s}} = \sqrt{\frac{0,02906}{s}} = \sqrt{\frac{0,01030}{s}} = \sqrt{\frac{0,01030}{s}} = 2 + 0,045 \text{ m}$	asis Nord	17622,974	17623,058	17 622,967	+ 0,084	700,0
$8231,879$ $8231,925$ $8231,809$ $+ 0,032$ $- 0,005$	sasis Nord	9047,522	9047,654	9047,512	+ 0,132	0,010
$\begin{array}{c ccccccccccccccccccccccccccccccccccc$	sasis Süd	10337,540	10337,572	10337,475	+ 0,032	0,065
$ = \frac{\sqrt{\frac{[dd]}{n}}}{\frac{6}{5}} = \sqrt{\frac{0,01030}{5}} $ $ = \pm 0,045 \text{ m} $	asis Süd	8231,879	8231,925	8231,809	+ 0,046	0,070
$\frac{6}{5} = \frac{\sqrt{\frac{0,01030}{5}}}{5}$ = \pm 0,01030		-			$\sqrt{\left[dd\right]} =$	
					0,02906	= 0,01030
					= ± 0,76 m	= ± 0,045 m

Maximaldifferenzen von 18,8 cm bzw. 23 cm. Der Vergleich der Tellurometer- und Geodimetermessungen zeigt völlig einseitige Vorzeichenverteilung der Differenzen 3–2 bzw. 4–2, die auf Maßstabsfehler schließen läßt; die gemessenen Seiten der I. Abteilung sind gegenüber den Geodimetermessungen im allgemeinen etwas zu groß, die der II. Abteilung etwas zu klein. Betrachtet man die Geodimetermessungen als fehlerfrei und zum Beispiel die Differenzen 3–2 als wahre Fehler der Tellurometermessung, so ergibt sich der mittlere Fehler einer "Tellurometerseite" der I. Abteilung des DGFI zu  $m_s = \pm$  0,076 m. Für die Tellurometermessungen der II. Abteilung des DGFI ergibt sich auf dieselbe Weise  $m_s = \pm$  0,045 m. Diese Werte stimmen gut mit den bei der Ausgleichung bestimmten mittleren Fehlern der Tellurometermessungen überein.

Die mit dem Geodimeter gemessene Länge der Basis (8231,879m) stimmt mit der Invardrahtmessung (8231,846 m) auf 3,3 cm überein.

Zum Vergleich der Tellurometer- und Geodimetermessungen mit dem Basisvergrößerungsnetz wurden zunächst die aus den Ausgleichungen der verschiedenen Netze (Trig. Netz, Tellurometernetz I. Abt. DGFI, Tellurometernetz II. Abt. DGFI, Geodimeternetz) folgenden Winkel, Seiten und Koordinaten einander gegenübergestellt (Tabelle 18, 19 und 20); für das Basisvergrößerungsnetz wurden dabei die aus der Winkelausgleichung nach Gewichten folgenden Ergebnisse benützt. Bei den Geodimetermessungen war nur ein Winkel- und Seitenvergleich möglich, weil das Geodimeternetz den Koordinatennullpunkt nicht enthält.

Die Differenzen in den Tabellen 18 bis 20 wurden in allen Fällen gegen die aus dem Basisvergrößerungsnetz erhaltenen Werte gebildet.

Die aus den Tellurometernetzen berechneten sphäroidischen Winkel des Basisvergrößerungsnetzes (Tabelle 18) weichen im Durchschnitt nur um

$$\pm$$
 1,20" (I. Abt.)  
bzw.  $\pm$  1,34" (II. Abt.)

von den unmittelbar gemessenen Winkeln ab. Die Maximalabweichungen liegen bei 2,6". Die aus dem Geodimeternetz berechne-

Tabelle 18 Winkelvergleich

							Ν	Iaf	Ssta	ab '	un	l N	Iaí	3sta	abs	ko	ntr	olle	en						21	1
		aus Geodimetermessungen	Verbesserung	3–8	6,2	1		+ 1,06"					18)		+ o,17''			+ 0,29"	— o,23"				— o,49″	[dd]	n ==	$\frac{5}{-} = \pm \text{ o.55}''$
		aus Geodin	Ausgegl.	Beobach- tungen	8			16,42"							41,66"			08,60"	20,39"				09,93"	1		1,5296
	le le	ıı		Verbesserung 3–6	7	o,81"	+ 0,07"	+ 1,09"	+ 1,54"	+ 1,03''	+ 1,87"	+ 0,67"	+ o,13''	+ 0,81"	+ 1,09"	+ 1,04"	7,000,	+ o,30"	— o,71"	-1,23''	— 2,49 <i>"</i>	-2,60''	-1,41"	[ <i>dd</i> ]	= $u$	$\frac{34}{1,34} = \pm 1,34$
	Sphäroidischer Winkel	termessunge	Frankfurt	Ausglei- chung I	9	25,99"	52,63"	16,39"	54,82"	12,00"	23,28"	25,18"	50,80"	03,17"	40,76"	15,65"	31,61"	08,59"	20,87"	59,32"	27,97"	04,50"	10,85"	1		33,5934
rabelle to with retvergieten	Sphäroid	aus Tellurometermessungen	München	Verbesserung 3-4	4.51	+ 0,77"	+ o,39"	-0,03"	+ 0,86"	-1,25"	+ 0,94"	— o,81"	— o,41"	+ o,o3''	+0,25"	+ 1,11"	-0,46"	+ 1,60"	+2,53"	o,87"	+ 0,02"	-2,25''	— <sub>1,84</sub> "	[dd]	n =	$\frac{12}{1} = \pm 1,20$
ic to with			Mü	Ausglei- chung II	4	54,41"	52,31"	17,51"	55,50"	14,28"	24,21"	26,66"	51,34"	03,95"	41,60"	15,88"	29,68"	07,29"	17,63"	28,96"	25,46"	04,45"	11,28"	1/1		25,8692
I abei			aus Basis- vergrößerungsnetz	(Winkelausgleichung)	က	43°15′55,183″	36° 53′ 52,699″	30°13′17,475″	41°31′56,362″	132° 49′ 13,027″	81° 44′ 25,151″	53°35′25,854″	17°17′50,932″	17°02′03,983″	49° 42′ 41,847″	129° 28′ 16,988″	102° 10′ 29,519″	73° 19′ 08,893″	144° 27′ 20,155″	61°05′58,089″	71°41′25,483″	90° 12′ 01,905″	56° 58′ 09,440″			
			Winkel		61	1-3	2-3	4-5	9-9	5-7	8-10	9-12	10-12	11-12	14-15	15-16	16-13	17-19	17-21	18-20	18-21	22-24	23-24			
			Station		н	Schweitenkirchen		Aufkirchen			München				Parsdorf			Basis Nord				Basis Süd				

ten Winkel weichen im Durchschnitt nur um  $\pm$  0,55" von den trigonometrisch bestimmten Winkeln ab. Die Maximalabweichung ist hier nur 1,1".

Der Seitenvergleich (Tab. 19) zeigt, daß alle mit dem Tellurometer und Geodimeter gemessenen Seiten zu groß sind. Auch die in Tabelle 20 ausgewiesenen Koordinatendifferenzen sind alle negativ. Dies weist auf einen  $Ma\beta stabsfehler$  der Tellurometerund Geodimetermessungen oder des Basisvergrößerungsnetzes hin. Um diesen zu bestimmen, wurden die beiden Tellurometernetze und das Geodimeternetz nach dem Verfahren von Helmert an das Basisvergrößerungsnetz angefeldert. Dabei ergaben sich die in Tabelle 21 ausgewiesenen Maßstabsverbesserungen  $\mu$  (die Beträge für Parallelverschiebung und Drehung sind hier ohne Interesse).

Die Einzelergebnisse der Helmert-Transformationen sind in Tabelle 22 zusammengestellt, wobei die Gauß-Krüger-Koordinaten des Basisvergrößerungsnetzes als unveränderlich und fehlerfrei betrachtet werden.

Weist man den Tellurometer- und Geodimetermessungen eine Maßstabsverbesserung von rund — 1 cm pro km zu, so stimmen die Koordinaten der Tellurometernetze und des Geodimeternetzes auf rund

$$\pm$$
 5 cm bzw.  $\pm$  3 cm

mit dem trigonometrisch bestimmten Basisvergrößerungsnetz überein. Dieses Ergebnis überrascht hinsichtlich seiner Systematik und seiner Genauigkeit.

Es zeigt, daß zwischen den Tellurometernetzen, dem Geodimeternetz und dem trigonometrisch bestimmten Basisnetz zweifellos Maßstabsfehler vorhanden sind.

Es bestehen aber auch zwischen dem neuen trigonometrischen Netz 1958 und dem Claußschen Basisvergrößerungsnetz (1920/ 1921) und dem bestehenden Hauptdreiecksnetz Maßstabsfehler von derselben Größe und Ordnung (Tab. 24).

Die vorhergehenden Zusammenstellungen und Tabellen sind weitgehend der Abhandlung Bayer. Akademie der Wissenschaften, math.-nat. Kl. N.F. Heft 97 (M. Kneißl, Normalstrecke, Basis und Basisvergrößerungsnetz München – Ebersberg) ent-Forts. S. 217

Tabelle 19 Seitenvergleich

Н	01	3	4	25	9	7	8
			Sphäroic	Sphäroidische Seite			
Sphäroidische Seite	aus Basis-		aus Tellurometermessung (ausgeglichen)	etermessung lichen)		aus Geodimeterme (ausgeglichen)	aus Geodimetermessung (ausgeglichen)
	Netz	München	chen	Frankfurt	furt		1 8
von	(Winkel- ausgleichung)	Ausgleichung II	Differenzen 2-3	Ausgleichung I	Differenzen 2-5		Differenzen 2-7
		m	m	m	m	E	ш
					p		p
München - Schweitenkirchen	40974,215	974,816	0,601	974,673	-0,458		
München - Aufkirchen	28089,810	090,117	-0,307	090,245	-0,435		
München Parsdorf	19053,239	053,366	-0,127	053,416	-0,177		
München - Basis Süd	26838,502	838,661	0,159	838,631	-0,129		79
München - Basis Nord	28 100,081	100,354	-0,273	100,290	-0,209		
Aufkirchen – Schweitenkirchen	29205,720	205,971	-0,251	205,866	-0,146		
Aufkirchen – Parsdorf	17009,315	009,552	-0,237	955'600	-0,241	009,583	-0,268
Aufkirchen – Basis Nord	17622,702	622,990	o,288	622,924	-0,222	622,974	-0,272
Basis Nord - Parsdorf	9047,466	047,607	-0,141	047,498	-0,032	047,522	-0,056
Basis Nord – Schweitenkirchen	46348,054	348,605	0,551	348,382	-0,328		
Basis Süd – Parsdorf	10337,497	337,577	080,0	337,483	+0,014	337,540	-0,043
Basis Süd – Basis Nord	8231,846	231,920	0,074	231,801	+ 0,045	231,879	-0,033

Tabelle 20 Koordinatenvergleich (Gauß-Krüger-Koordinaten)

I	2	3	4	5	6
	aus Basis-	aus		etermessunge usgleich)	en
	vergrößerungsnetz	Münc	hen	Frank	furt
Punkt	Rechtswert Hochwert	Rechtswert Hochwert	Diffe- renzen 2-3	Rechtswert Hochwert	Diffe- renzen 2-5
	m	m	em	m	cm
<u></u>			d		d
München	44 68 326,91	326,91		326,91	
	53 33 492,51	492,51		492,51	
Schweitenkirchen.	44 71 094,104	094,14	- 4	094,14	<b>—</b> 4
	53 74 373,640	374,24	60	374,10	<del> 4</del> 6
Aufkirchen	44 89 628,988	629,10	11	629,20	21
	53 51 802,841	803,18	34	803,26	- 42
Parsdorf	44 87 324,418	324,54	12	324,58	<u>— 16</u>
	53 34 950,340	950,44	10	950,53	19
Basis Nord	44 96 354,323	354,59	27	354,52	20
	53 35 513,889	513,98	- 9	514,06	- 17
Basis Süd	44 94 487,208	487,38	17	487,39	18
	53 27 496,583	496,62	- 4	496,81	23

#### Tabelle 21

Maßstabsverbesserungen für die Aufpassung der Tellurometernetze und des Geodimeternetzes auf das trigonometrisch bestimmte Basisvergrößerungsnetz

- a) Bei den Tellurometermessungen:
  - I. Abteilung  $\mu=-$  0,112 m pro 10 km  $\pm$  0,013 m,
  - II. Abteilung  $\mu = -$  0,076 m pro 10 km  $\pm$  0,017 m.
- b) Bei den Geodimetermessungen:

$$\mu = -$$
 0,107 m pro 10 km  $\pm$  0,019 m.

Schließlich werden noch die mittleren Koordinatenklaffungen (Punktfehler) angegeben. Sie betragen:

### a) Bei den Tellurometermessungen:

I. Abteilung vor der Anfelderung  $\pm$  0,089 m, nach der Anfelderung  $\pm$  0,036 m,

II. Abteilung vor der Anfelderung  $\pm$  0,113 m, nach der Anfelderung  $\pm$  0,046 m.

b) Bei den Geodimetermessungen:

vor der Anfelderung ± 0,052 m, nach der Anfelderung ± 0,026 m.

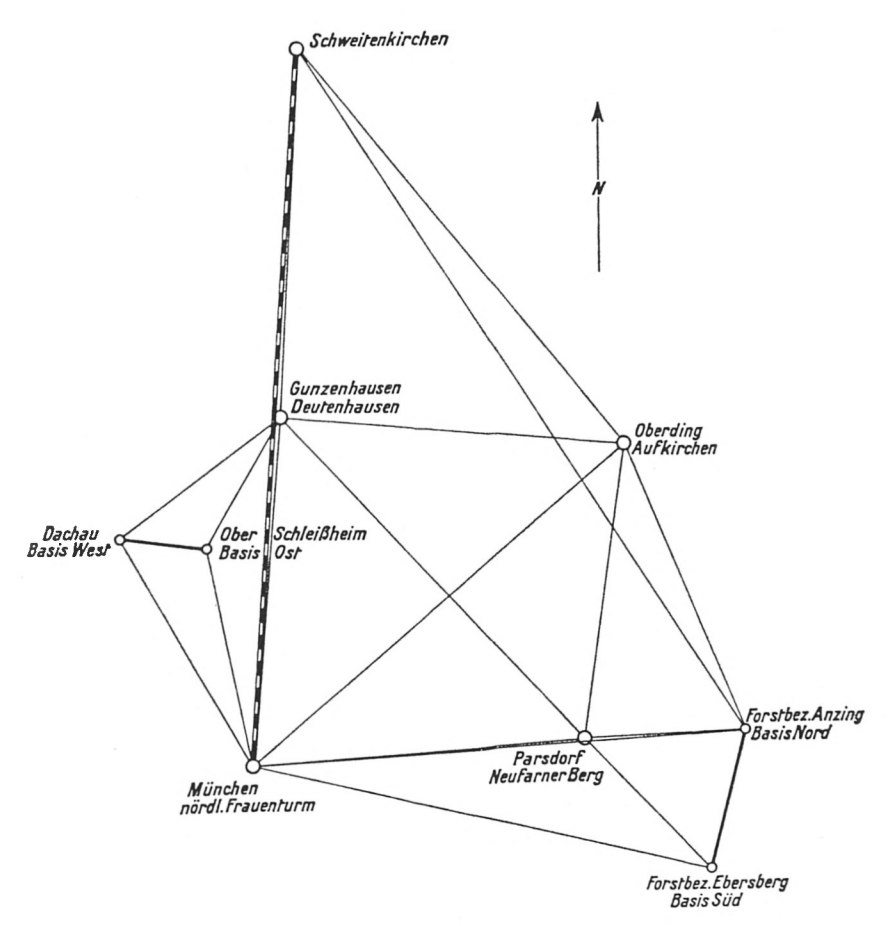


Abb. 10. Zusammenschluß der Basisvergrößerungsnetze München 1920/21 und München-Ebersberg 1958

<sup>17</sup> München Ak. Sb. 1962

Helmert-Transformation (Gauß-Krüger-Koordinaten)

		Aus Geodimetermessungen	Restklaffung	ш					+ 0,003	-0,030	+ 0,016	+ 0,032	+ 0,011	-0,033	0,031	+ 0,031
		Aus Geodime	nach Helmert- Transformation	m	100				628,987	802,870	354,304	513,858	487,199	469,613	324,451	950,309
	dinaten)	Aus Tellurometermessungen Frankfurt II. Abteilung	Restklaffung	ш	+ 0,021	+0,150	-0,054	900,0 +	0,051	0,100	+ 0,032	+ 0,034	+ 0,049	680,0—	+0,004	- 0,002
	rüger-Koor	Aus Tellurom Frankfurt I	nach Helmert- Transformation	m	326,889	492,360	094,154	373,634	629,041	802,940	354,288	513,856	487,161	496,669	324,416	950,342
Tabelle 22	on (Gauß-K	Aus Tellurometermessungen München I. Abteilung	Restklaffung	ш	690'0 —	4 0,098	0,056	-0,045	0,070	o,o48	0,023	+ 0,016	+ 0,052	-0,023	+ 0,025	+ 0,003
	ansformatic	Aus Tellurom München I	nach Helmert- Einpassung	m	326,979	492,412	094,156	373,685	628,920	802,888	354,343	513,874	487,158	496,603	324,395	950,337
general s	Helmert-Transformation (Gauß-Krüger-Koordinaten)	Aus Basis- vergrößerungsnetz	Rechtswert	m	4468326,910	5333492,510	4471094,100	5374373,640	4489628,990	5351802,840	4496354,320	5335513,890	4494487,210	5327496,580	4487324,420	5334950,340
		\	Punkt		München		Schweitenkirchen		Aufkirchen	4	Basis Nord		Basis Süd		Parsdorf	(c) (c)

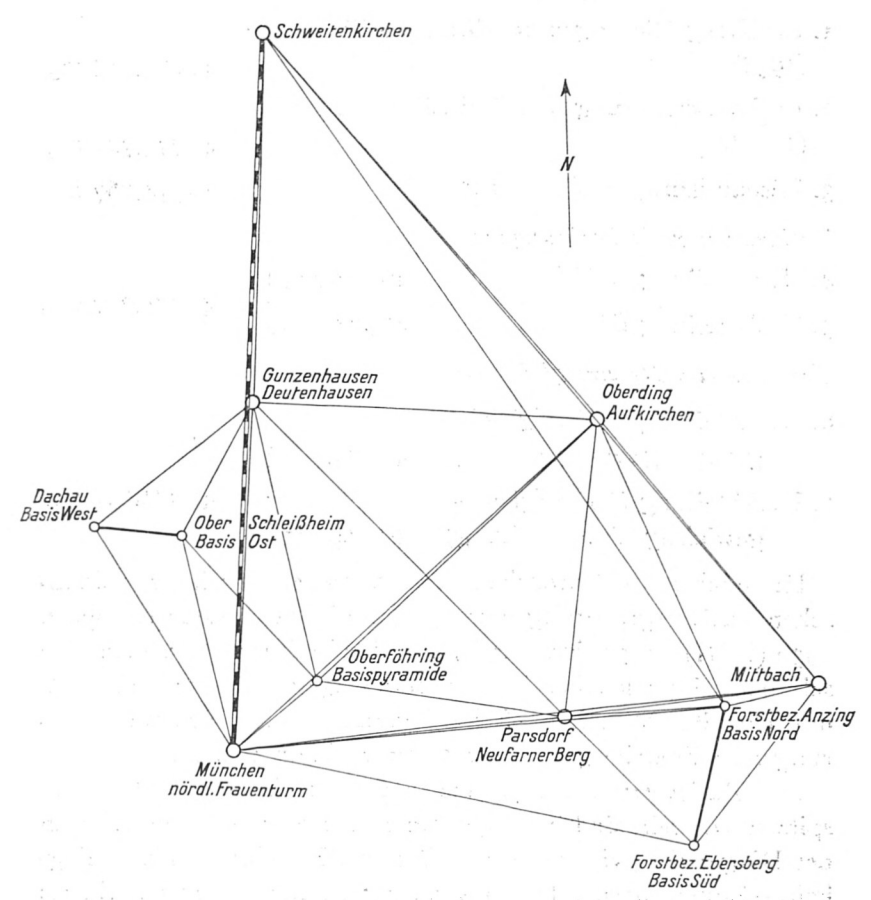


Abb. 11. Zusammenschluß der Basisvergrößerungsnetze. Erweiterte Figur des Bayerischen Landesvermessungsamtes

nommen, zum Teil berichtigt und durch neuere Messungen ergänzt. Auf Grund der neueren Messungen entsteht die Vermutung, daß die nachgewiesenen Maßstabsfehler in der Hauptsache dem Basisvergrößerungsnetz und erst in zweiter Linie den Tellurometer- und Geodimetermessungen aufzulasten sind. Diese Vermutung stützt sich vor allem auf die Berechnung der Basisvergrößerungsseite München – Schweitenkirchen.

Im einzelnen ergaben sich für die *Hauptdreiecksseite München* nördl. Frauenturm, alte Helmstange – Schweitenkirchen, FIO folgende sphäroidische Werte:

Basisvergrößerungsnetz Münch     (1018)	hen–Ebersberg	10051014
(1958)	Dealers	40974,215 m <sub>int</sub>
2. Basisvergrößerungsnetz Müncl (1920/21)	nen-Dachau	40974,749 m <sub>int</sub>
3. Réseau Européen (ZEN 1950)		40974,767 m <sub>int</sub>
Tellurometer-Beobachtungen:		
4. I. Abteilung DGFI	40974,775	
5. II. Abteilung DGFI	40974,775 40974,680	40974,727 m <sub>int</sub>
Tellurometer-Netzausgleichung:		
6. I. Abteilung DGFI (gleichgewichtige Ausgleichung)	40974,812	
7. II. Abteilung DGFI (gleichgewichtige Ausgleichung)	40974,673	40974,742 m <sub>int</sub>

Hiernach besteht zwischen der Hauptdreiecksseite im Claußschen Basisvergrößerungsnetz 1920, die in das Réseau Européen 1950 (ZEN) eingeführt wurde, und den Tellurometernetzen eine sehr befriedigende Übereinstimmung. Dagegen scheint die Hauptdreiecksseite München – Schweitenkirchen im Basisvergrößerungsnetz Ebersberg um über 50 cm zu klein zu sein.

Die Basisvergrößerungsnetze mit ihren kurzen Seiten und spitzen Winkeln sind im allgemeinen, insbesondere beim Fehlen der Diagonalen, viel zu lockere Gebilde. Es fehlt die Netzsteifigkeit. – Zudem werden bei Anwendung des Schreiberschen Satzes eine Reihe von Winkeln, vor allem auch die Horizontschlüsse vernachlässigt. Die Festsetzung der Wiederholungszahlen für die Winkelmessung in Basisnetzen nach dem Schreiberschen Satz beruht m. E. auf einer sehr fragwürdigen Theorie und führt in der Praxis zweifellos zu fraglichen Ergebnissen. Interessant ist hierbei die Feststellung, daß die Einführung und Beachtung der Schreiberschen Gewichte einen viel zu kleinen mittleren Übertragungsfehler ergibt. So erhält man bei der Ausgleichung des Basisvergrößerungsnetzes München - Ebersberg unter Beachtung der Schreiberschen Gewichtszahlen für die Seite München -Schweitenkirchen einen mittleren Fehler von  $\pm$  48 mm. Gleicht man dasselbe Netz gleichgewichtig aus, so fällt der Übertragungsfehler auf  $\pm$  12 cm ab. Damit bedarf die Schreibersche Gewichtsfestsetzung einer eingehenden Überprüfung.

Überdies hat Prof. Dr. Clauß 1920/21 in seinem Basisvergrößerungsnetz verschiedene Richtungen von Bodenpfeilern aus gemessen und einige schwierige Richtungen ganz weggelassen.

Um die Maßstabsunterschiede aufzuklären, wurden folgende Untersuchungen durchgeführt:

1. Die Claußsche Basismessung wurde mit Invardrähten durchgeführt, die auf einer Normalstrecke in München-Feldmoching geeicht wurden. Die Länge der Normalstrecke wurde mit dem Besselschen Basisapparat festgelegt. Die Länge dieser Normalstrecke betrug 1240 m. Leider sind zwei Festlegungen dieser Normalstrecke inzwischen verbaut worden. Das noch zugängliche Reststück wurde 1959 mit unseren auf der Ebersberger Normalstrecke geeichten Invardrähten nachgemessen. Diese Nachmessung hat auf einer Länge von 624 m eine Übereinstimmung auf 1/10 mm gezeigt und damit die Gleichheit des Ausgangsmaßstabs bestätigt. Die Einzelergebnisse sind der nachstehenden Tabelle 23 zu entnehmen:

Strecke 1920 1959 m m mm Endpunkt Süd-Zwischenpunkt I 312,1263 312,1254 +0,9 (0-312 m) +0,0006 $\pm$  0,0005 土 0,7 Zwischenpunkt I-Zwischenpunkt II 311,7674 311,7684 - 1,0 (312-624 m)  $\pm$  0,0005  $\pm$  0,0005 土 0,7 Endpunkt Süd-Zwischenpunkt II 623,8937 623,8938 --- 0,1 (0-624 m) +0,0007 $\pm$  0,0007 + 1,0

Tabelle 23

2. Zur Untersuchung und Verbesserung der Claußschen Winkelmessungen hat Herr ORR Dr. Weigand vom Bayer. Landesvermessungsamt das alte Claußsche Basisvergrößerungsnetz neu bebaut, vollständig neu ausgemessen und mit der Claußschen Basis neu berechnet.¹ Weigand hat dabei für die Vergrößerungs-

<sup>&</sup>lt;sup>1</sup> Leider ist auch ein Endpunkt der Basis, die die Länge 6293,500 m hatte, zerstört. Es konnte daher nur ein Teilstück der Basis von 5022,380 m in die Beobachtungen und Berechnungen einbezogen werden.

seite München – Schweitenkirchen den Wert 40974,685 m  $\pm$  2,5 cm erhalten. Damit wird der alte Claußsche Wert auf 8 cm bestätigt.

3. Zur Untersuchung der Genauigkeit des Ebersberger Basisnetzes hat Weigand auch dieses Netz durch zusätzliche Winkelmessungen verbessert und durch Einbeziehung der Punkte Oberföhring, Mittbach und Deutenhausen ausgeweitet und versteift. Damit wurde das Basisvergrößerungsnetz offenbar wesentlich stabiler. Überdies hat aber Weigand das Dreieck München – Ebersberg Basis Süd – und Ebersberg Basis Nord sowie die Visur Basis Nord – Schweitenkirchen weggelassen, nachdem er bei den Visuren zwischen den Basisendpunkten und München und bei der Visur Basis Nord – Schweitenkirchen erhebliche Unsicherheiten festgestellt hat.

Die Ausgleichung dieses Netzes, wobei alle Richtungen als gleichgewichtig betrachtet wurden, ergab für die Seite München – Schweitenkirchen  $S=40974,713~m\pm7~cm$ . Damit stimmen nun die neue Basis in Ebersberg und die alte Claußsche Basis unter sich hervorragend überein.

- 4. Die Weigandschen Messungen im Basisvergrößerungsnetz München Ebersberg haben den Nachteil, daß sie keine einheitlichen Beobachtungsgewichte haben. Es wurden Richtungsmessungen mit den Schreiberschen Winkelmessungen zusammengenommen. Die zusätzlichen Messungen haben aber die Schreiberschen Gewichtsunterschiede etwas ausgeglichen. Die Hereinnahme von Oberföhring und Mittbach ist nicht berechtigt und stört den Zusammenhang der beiden Basisnetze. Zudem liegt Oberföhring direkt auf der Seite München Aufkirchen, und die Richtung Mittbach Anzing wurde nicht beobachtet, sondern nur eingerechnet, und ergab einen unzulässig großen Dreieckswiderspruch. Auch das Wegstreichen unsicherer Richtungen ist bedenklich.
- 5. Um nun zu einem besseren Wert für die Basis München Schweitenkirchen zu kommen, habe ich zunächst mit Hilfe von 12 verschiedenen Netzfigurationen und den Weigandschen Winkeln die Ebersberger und die Claußsche Basis vergleichen lassen. Die Übertragung der Ebersberger Basis auf die Clauß-

sche Basis ergibt bei allen Netzfigurationen einen zu kleinen Wert für die Claußsche Basis. Die Differenzen liegen zwischen 58 und wenigen Millimetern, je nachdem ob mit einfachen Dreiecksketten oder mit Hilfe des gesamten Vergrößerungsnetzes übertragen wird. Dabei ergibt unglücklicherweise die Kombination der beiden Basisvergrößerungsnetze (Fig. 3) das ungünstigste Ergebnis. Die festgestellten Differenzen rühren offenbar von unerwarteten Unsicherheiten in der Winkelmessung her. Trotzdem wurden die beiden Grundlinien als gleichwertig und fehlerfrei und das neu beobachtete Claußsche und das Ebersberger Basisvergrößerungsnetz als Einheit betrachtet und zunächst ohne Berücksichtigung der Punkte Oberföhring und Mittbach neu ausgeglichen, wobei alle Richtungen als gleichgewichtig angesehen wurden. Diese Ausgleichung umfaßte 13 Dreiecksgleichungen, 6 Seitengleichungen und eine Basisidentitätsbedingung und ergab für die Seite München - Schweitenkirchen den Wert von

### $40974,554 \text{ m}^1 \pm 14,5 \text{ cm}.$

6. Für einen weiteren Vergleich wurden bei der Zusammenfassung der Basisnetze auch noch die Punkte Oberföhring und Mittbach, sowie alle zusätzlich beobachteten Diagonalen (22 Dreiecksgleichungen, 13 Seitengleichungen und eine Basisidentitätsbedingung) berücksichtigt. Bei der Ausgleichung wurden wieder gleichgewichtige Richtungen angenommen und für die Seite München – Schweitenkirchen der Wert 40974,648 m $\pm$ 15 cm erhalten.²

Die Schlußzusammenstellung in Tabelle 24 zeigt, daß der durch die beiden Grundlinien vorgegebene Maßstab durch die trigonometrische Übertragung der Basen auf die Vergrößerungsseite München – Schweitenkirchen erheblich verfälscht wird. Eine

<sup>&</sup>lt;sup>1</sup> Bei der Ausgleichung der beiden Netze ohne Berücksichtigung der Basisbedingung ergab sich für die Seite München – Schweitenkirchen aus der Ebersberger Basis der Wert 40974,330 m und aus der Dachauer Basis der Wert 40974,804 m.

<sup>&</sup>lt;sup>2</sup> Diese Ausgleichung entspricht im wesentlichen der Weigandschen Ausgleichung, enthält aber alle Diagonalen und die Basisidentitätsbedingung.

genaue Untersuchung hierzu hat Herr A. Weigand durchgeführt ("Untersuchung verschiedener Basisvergrößerungsnetze zur Bestimmung der Hauptdreiecksseite München-Schweitenkirchen"), die in Kürze erscheint. Um die Maßstabsfrage endgültig zu klären, sind weitere elektronische Messungen mit dem Electrotape und Distomat vorgesehen.

- . Weiter ergeben sich folgende Schlußfolgerungen:
- 1. Die Invardrahtmessungen geben offenbar immer noch die genauesten Längen für unsere Grundlinien.
- 2. Basen bis zu 10-15 km können mit ausreichender Genauigkeit auch durch Geodimetermessungen bestimmt werden, wenn diese systematisch über einen längeren Zeitraum verteilt und genügend oft wiederholt werden.
- 3. Über 30 km ist die Messung mit Geodimeter bei entsprechender Unterteilung in Teilstrecken, ja auch die direkte Messung mit Tellurometer und anderen elektronischen Entfernungsmessern den trigonometrischen Übertragungen vorzuziehen.
- 4. Durch Einschaltung von Geodimeter- oder Tellurometerlinien oder -ketten erhalten wir ein vollständig neues Beobachtungs- element, das über große Entfernungen hin den Maßstab sichert und unsere Dreiecksnetze wesentlich verbessert.
- 5. Die Basisvergrößerungsnetze sind lange nicht so genau, wie bisher angenommen wurde, insbesondere täuscht die Schreibersche Anordnung und Gewichtsfestsetzung eine viel zu große Genauigkeit vor.
- 6. Schließlich folgt noch das wichtige Ergebnis, daß für die Tellurometer und Geodimeter im allgemeinen Frequenzeichungen genügen. Bei Feldeichungen sollten schon wegen des Aufwands nur 2 oder 3 gut bestimmte, genügend lange Testseiten benutzt werden, die von einer Station aus gemessen werden können. Die Eichung auf einer kurzen Linie, z. B. auf einer Basis selbst, kann, wie unser Beispiel zeigt, versagen. Auch Basisvergrößerungsnetze sind wegen ihrer Instabilität für die Eichung der lichtelektrischen und elektronischen Entfernungsmesser nur bedingt brauchbar.

#### Tabelle 24

### München, Hauptdreiecksseite:

Nördl. Frauenturm, a. Helmstange - Schweitenkirchen, FIO

	Sphäroidische Seitenlänge m int.	Mittel
Basisvergrößerungsnetz 1958 München – Ebersberg	g 40974,215	
Bayerisches Hauptdreiecksnetz (Neuausgleichung	40074 554	
1942) Basisvergrößerungsnetz 1920 (Clauß) = RETrig	40974,554	
1957, ZEN		
Basisvergrößerungsnetz 1920 Clauß mit Winkelmes sung 1959		
Basisvergrößerungsnetz 1959 München – Ebersberg einschließlich Mittbach und Deutenhausen (Ausgl		40 974,699
Weigand)		
Ausgleichung Geod. Institut T.H. München (Abb. 10		
Ausgleichung Geod. Institut T.H. München (Abb. 11	) 40974,648	
Tellurometer-Beobachtungen:		
I. Abteilung DGFI	40974,775 }	40 974 727
II. Abteilung DGFI	40974,680 J	10711,121
Tellurometer-Netzausgleichung:		
I. Abteilung DGFI (gleichgewichtige Ausgleichung)	40974,812	40 974.742
II. Abteilung DGFI (gleichgewichtige Ausgleichung)	40974,673	

#### Literaturhinweise

- M. Kneißl: Normalstrecke, Basis und Basisvergrößerungsnetz München Ebersberg. Anlage und Vermessungsergebnisse 1958. Abhandlg. Bayer. Akad. d. Wiss. math.-nat. Kl. N. F. Heft 97. München 1959.
- Zus. mit G. Eichhorn: Ergebnisse der Interferenzmessung 1958 mit dem Väisälä-Komparator auf der Münchner Normalstrecke. Abhandlg. Bayer. Akad. d. Wiss., math.-nat. Kl. N. F. Heft 98. München 1959.
- Zus. mit R. Sigl: Basis Ebersberger Forst, Invardrahtmessungen der I. Abt. des DGFI 1958. Abhandlg. Bayer. Akad. d. Wiss., math.-nat. Kl. N. F. Heft 99. München 1959.
- Zus. mit R. Sigl: Tellurometermessungen 1958 der I. Abt. des DGFI im Basisvergrößerungsnetz München. Abhandlg. Bayer. Akad. d. Wiss., math.nat. Kl. N. F. Heft 100, München 1959.